

Fasci Radioattivi

Metodi di Produzione: In-Flight, ISOL

FASCI RADIOATTIVI (ioni con nuclei Esotici)

Ioni instabili prodotti artificialmente(ovvero non esistenti in natura) con caratteristiche energetiche e spaziali tali da poter essere riutilizzati o come sorgente per un acceleratore o come un "normale" fascio ottenuto da un acceleratore per studiarne le proprieta' o produrre reazioni.

- Λ (10^{-10} sec)
- Ξ (10^{-10} sec)
- Li^{11} (neutron rich)
- Sn^{107} (proton-rich)

Cos'e' un nucleo esotico?

Normal Nucleus:



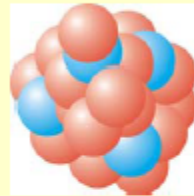
6 neutrons

6 protons (carbon)

^{12}C

Stable, found in nature

Exotic Nucleus:



16 neutrons

6 protons (carbon)

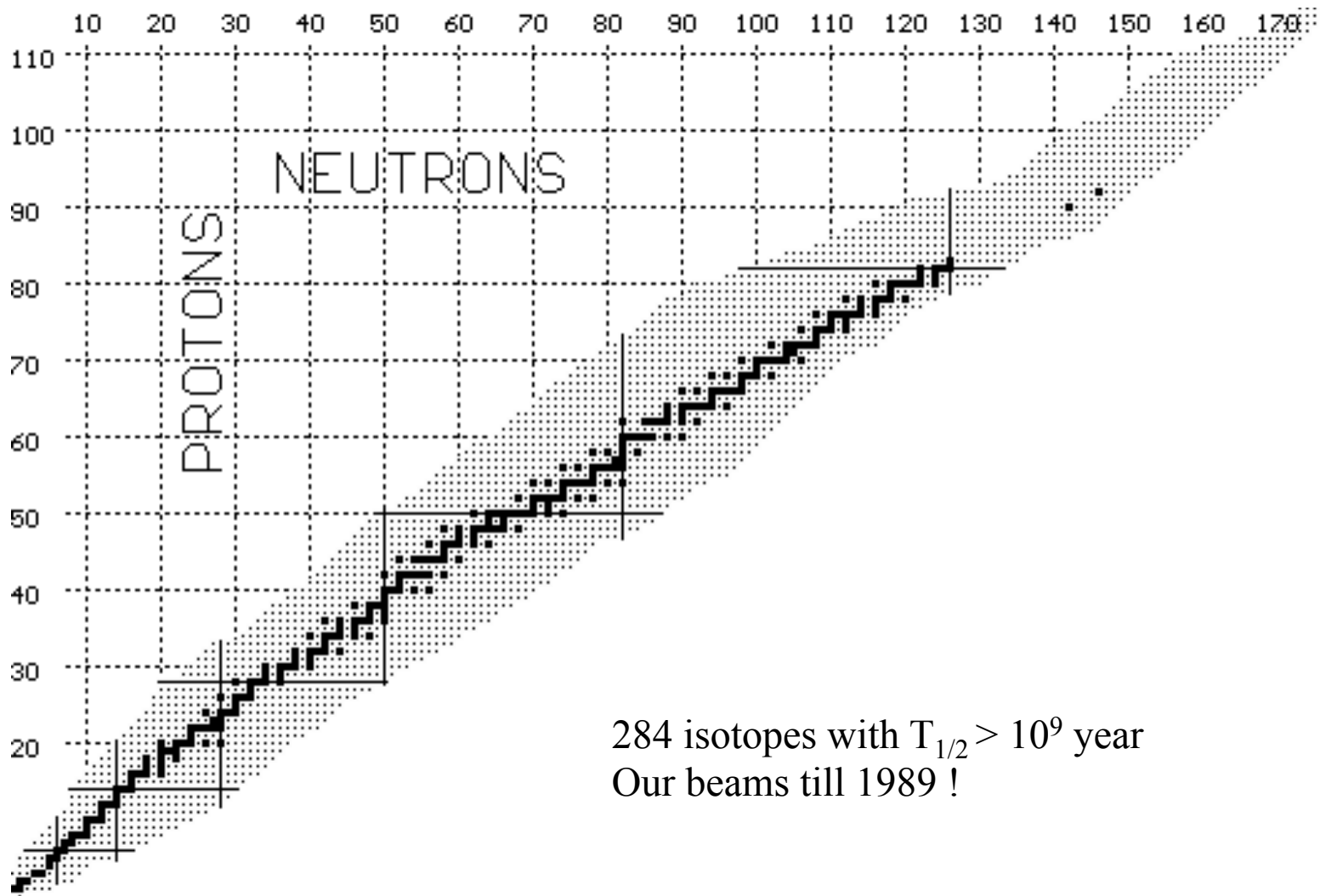
^{22}C

Radioactive, at the limit of nuclear binding

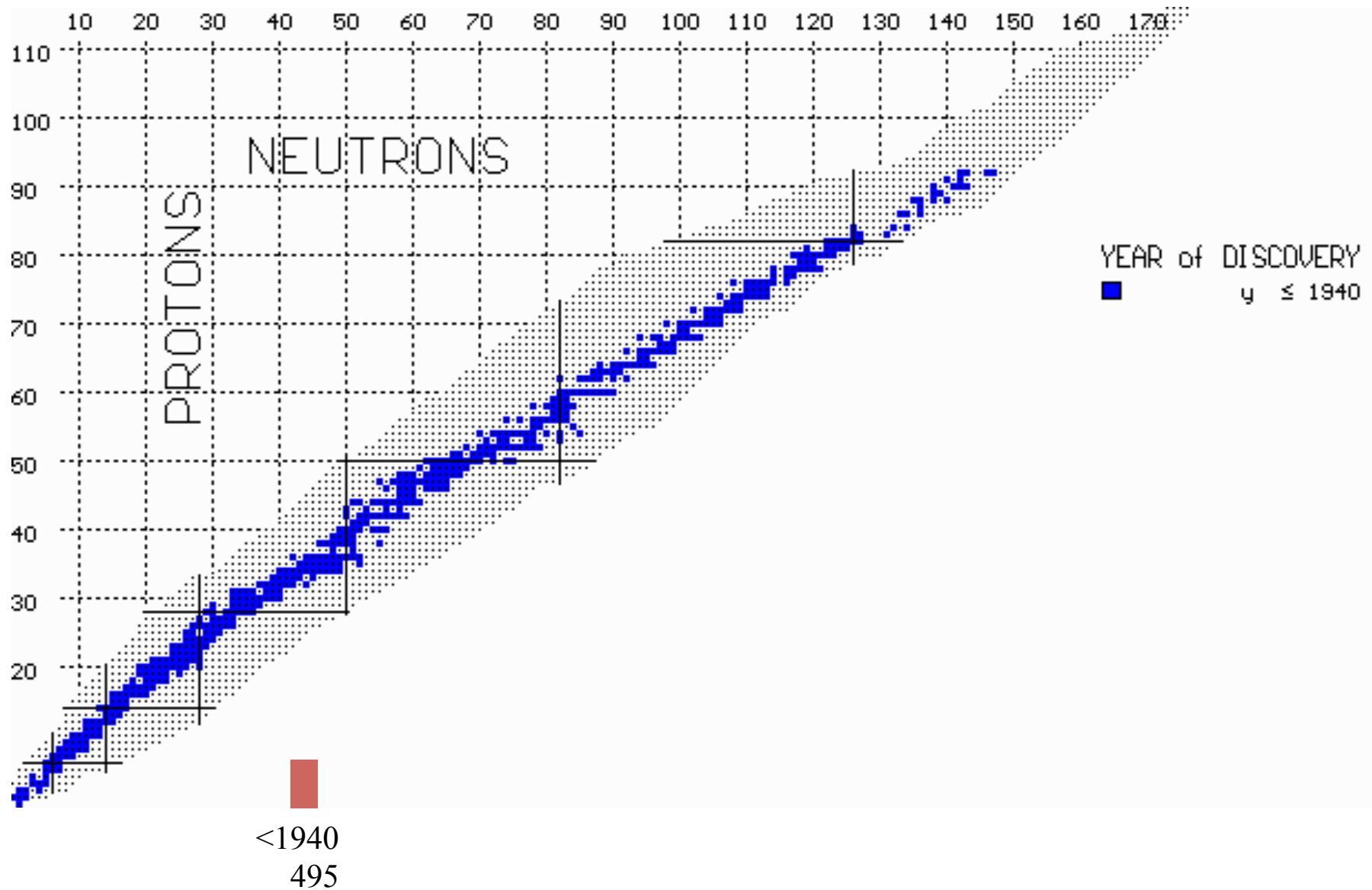
Characteristics of exotic nuclei:

- ✓ Excess of neutrons or protons,
- ✓ short half-life,
- ✓ neutron or proton dominated surface,
- ✓ low binding

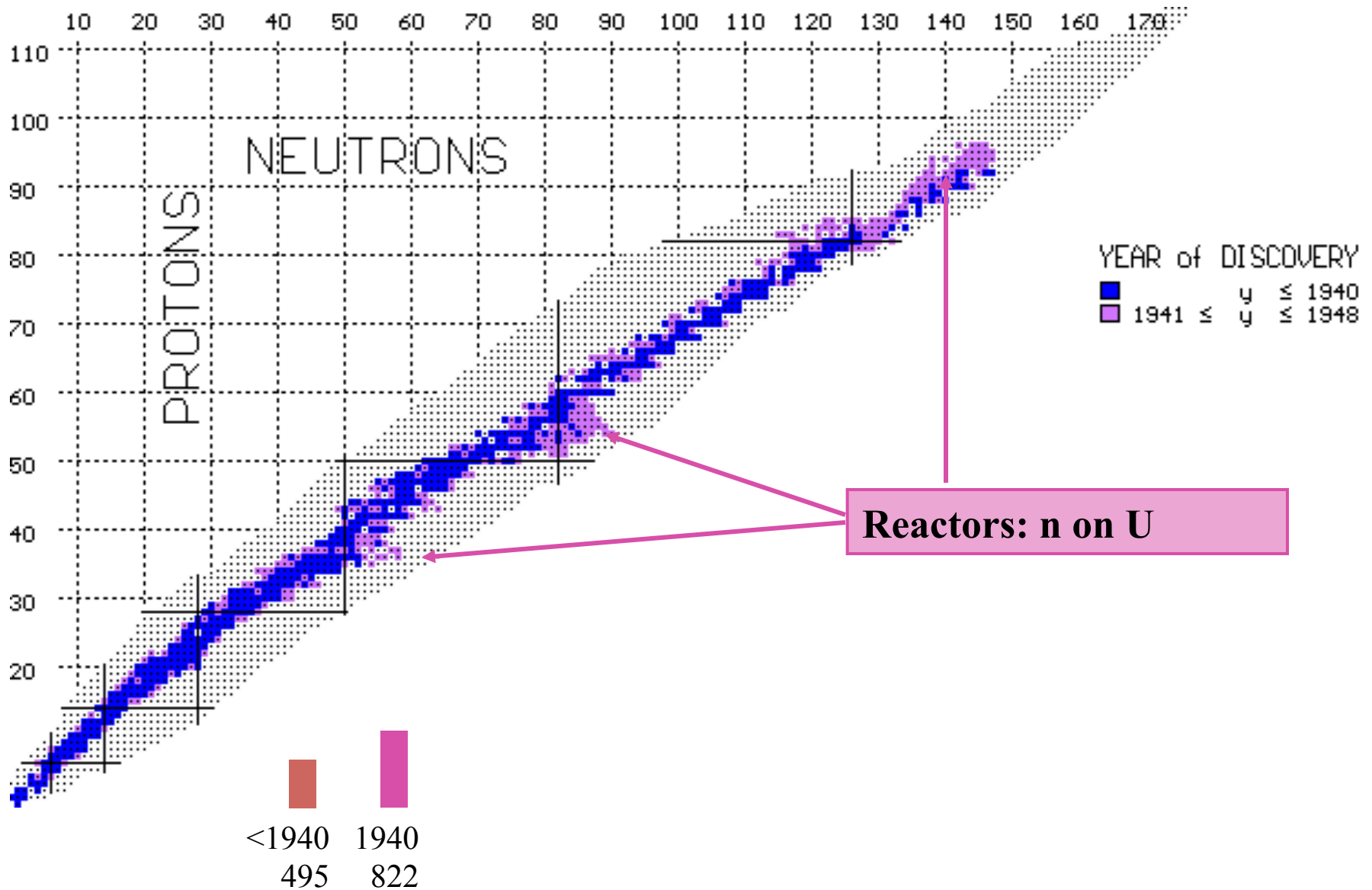
Un po' di Storia...



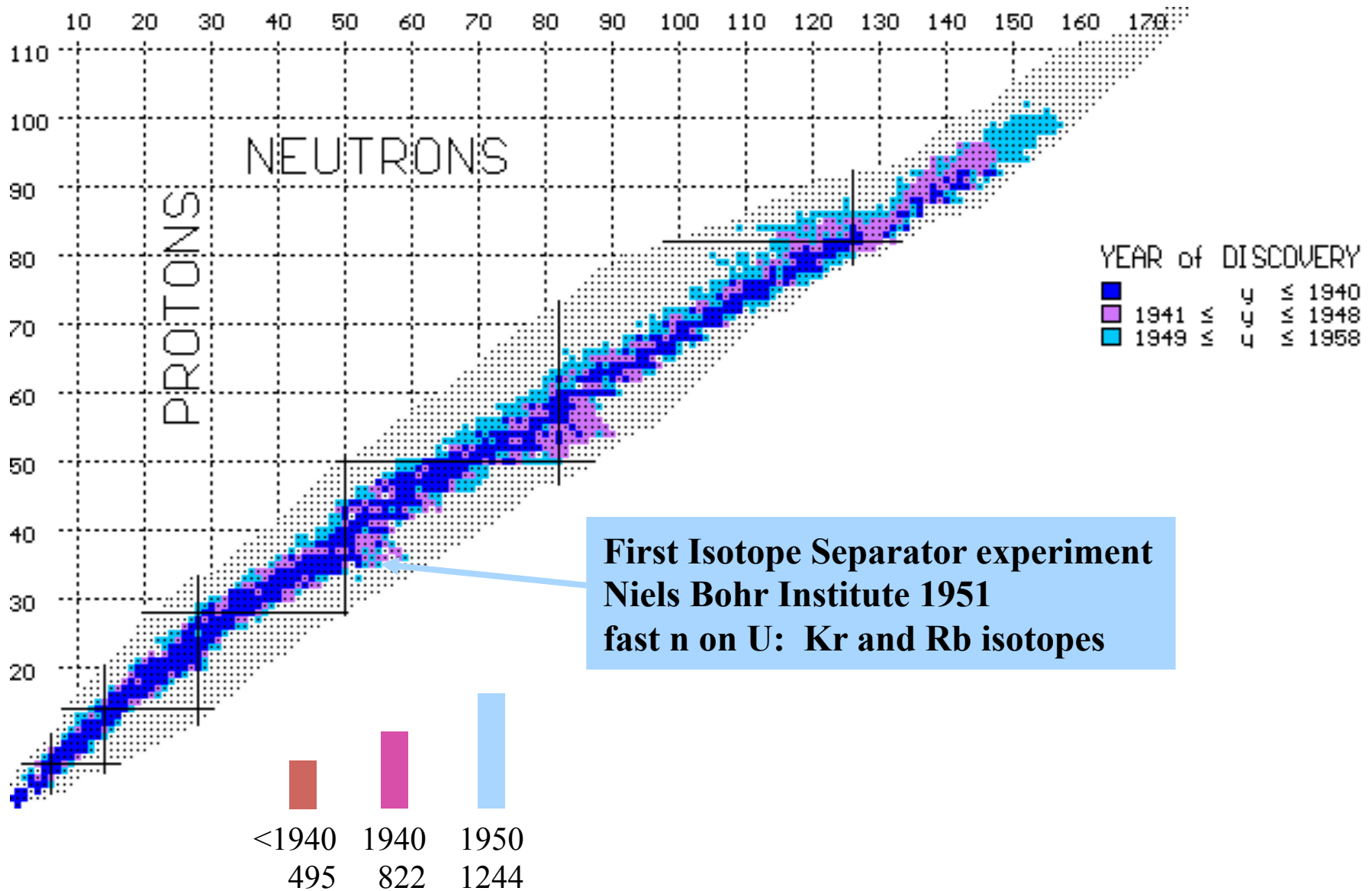
Un po' di Storia...



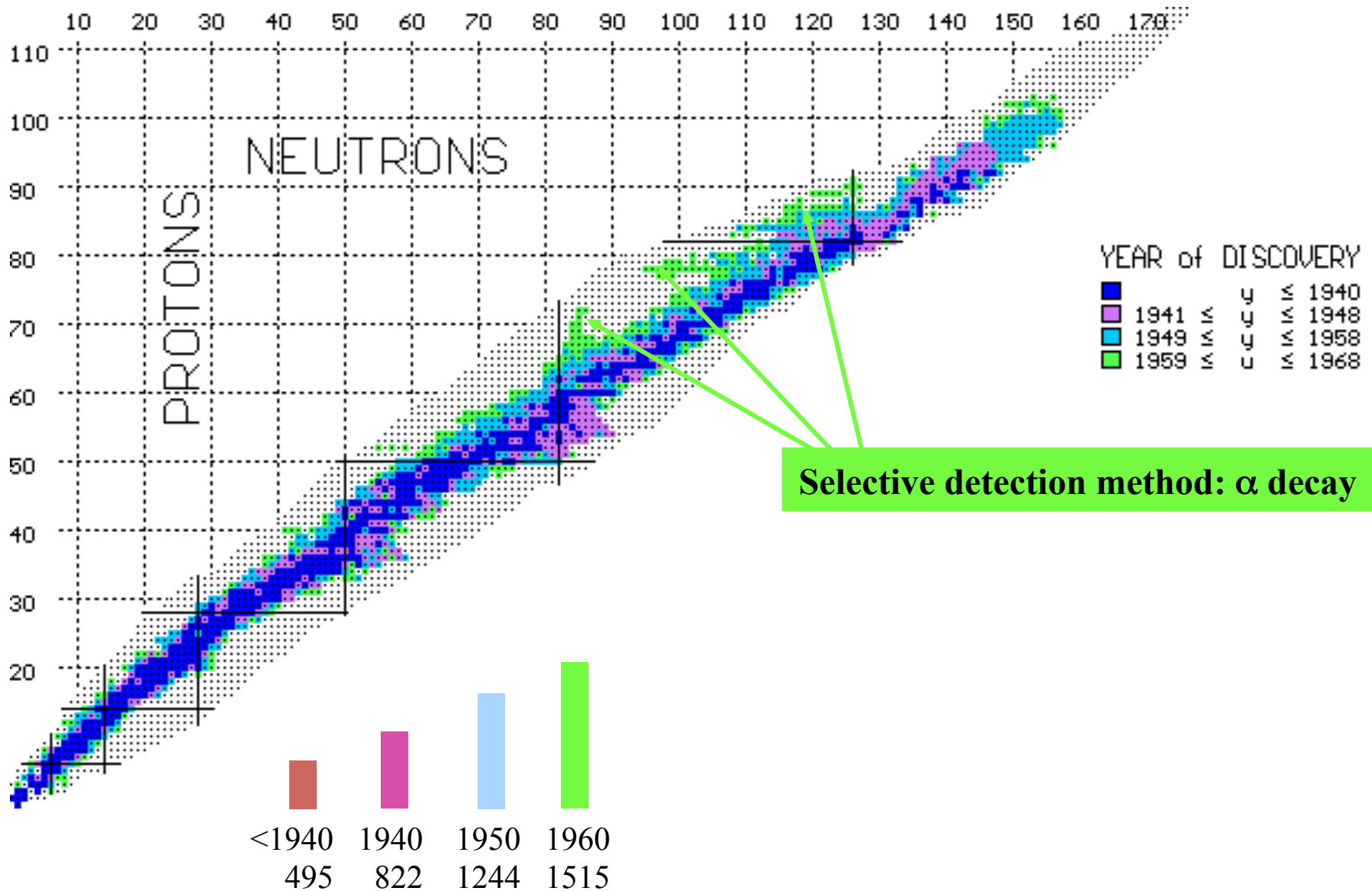
Un po' di Storia...



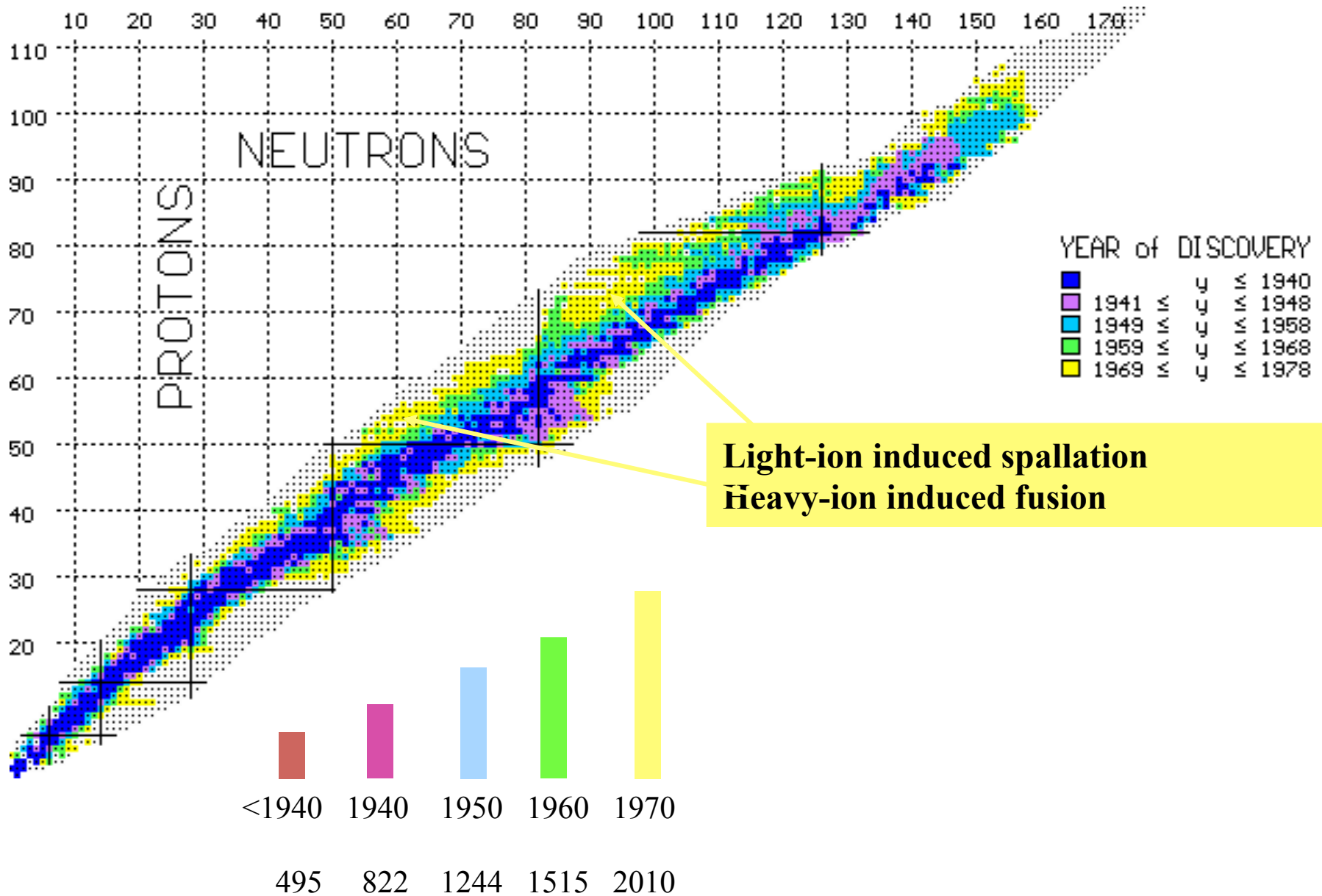
Un po' di Storia...



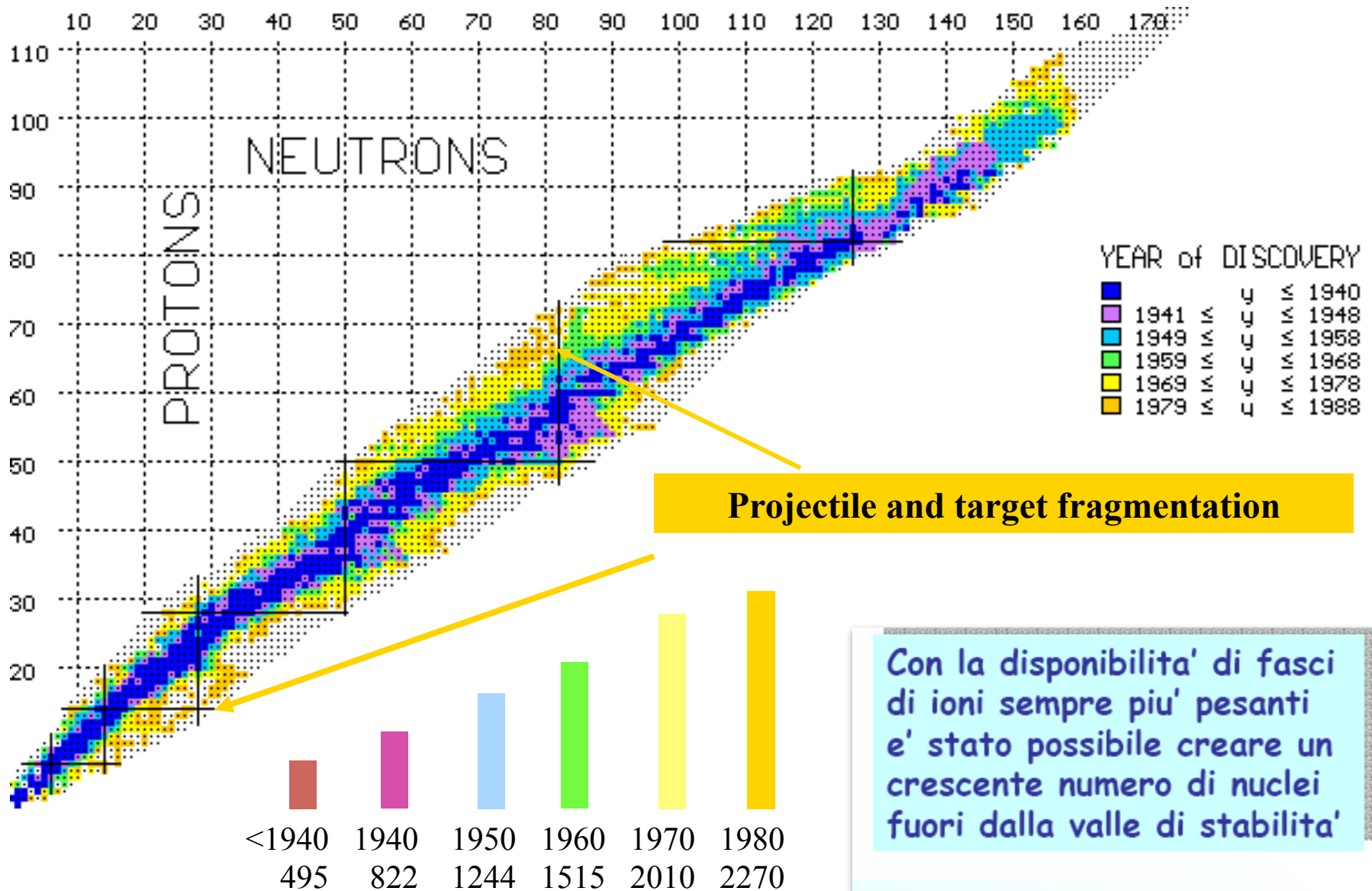
Un po' di Storia...



Un po' di Storia...

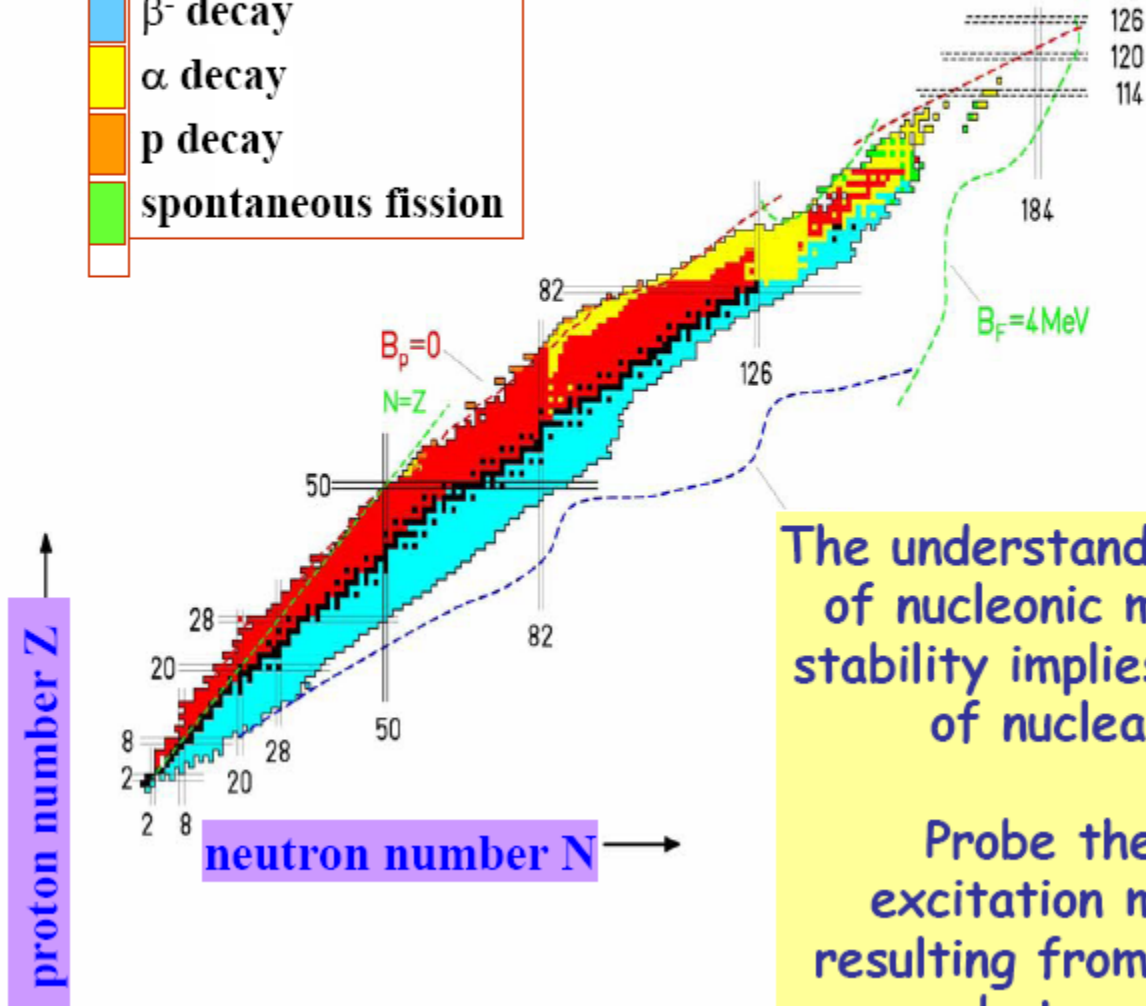
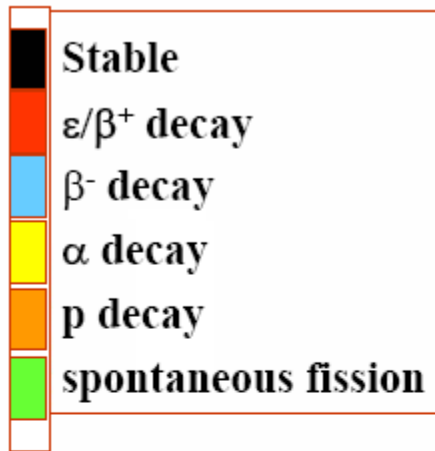


Un po' di Storia...



TODAY: Around 3000 of the expected 6000 nuclei have been observed

Limits of Nuclear Existence



The understanding of the nature of nucleonic matter far from stability implies the exploration of nuclear structure:

Probe the phases and excitation modes of nuclei resulting from the interactions between nucleons

World Wide Radioactive Beam Facilities



Programma sperimentale vasto che riguarda :

➤ **Produzione dei nuclei radioattivi**

Acceleratori e bersagli di produzione (selezione della regione di A)

Masse e altre proprietà dello stato fondamentale

(Spin, momenti magnetici, momenti di quadrupolo)

Decadimenti (beta e alpha per i nuclei pesanti)

➤ **reazioni con fasci radioattivi** per studiare le proprietà di struttura e indagare i vari aspetti e la complessità del problema a multicorpi

Basse energie (Fino a circa 20 MeV/u)

Reazioni di trasferimento (proprietà di particella singola)

Fusione (proprietà collettive)

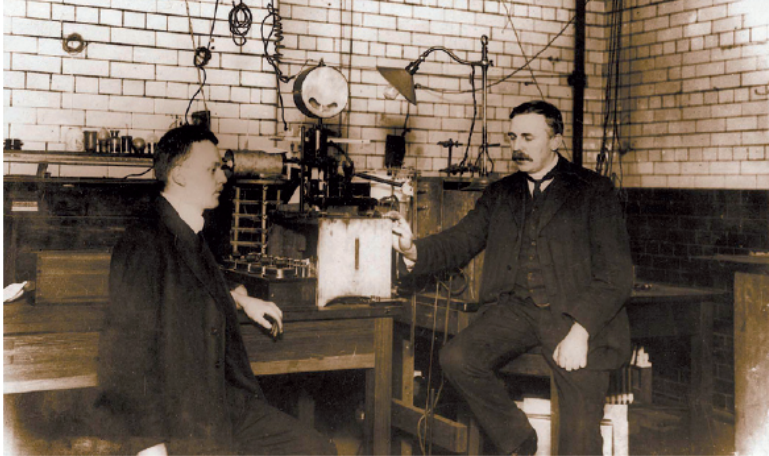
Eccitazione Coulombiana (Proprietà collettive)

Alte energie ($E > 50$ MeV/U)

Knock out , frammentazione

eccitazione coulombiana

➤ **strumentazione** per la spettroscopia associata, particelle cariche, neutroni, gamma e spettrometri di massa e di momento)



Hans Geiger (left) and Ernest Rutherford's experimental work revealed the nucleus at the centre of atoms.

Comment to Nature,
by M. Thoenessen and B. Sherrill
5 MAY 2011 | VOL 473 | NATURE | 25

In occasion of Rutherford centennial 2011

From isotopes to the stars

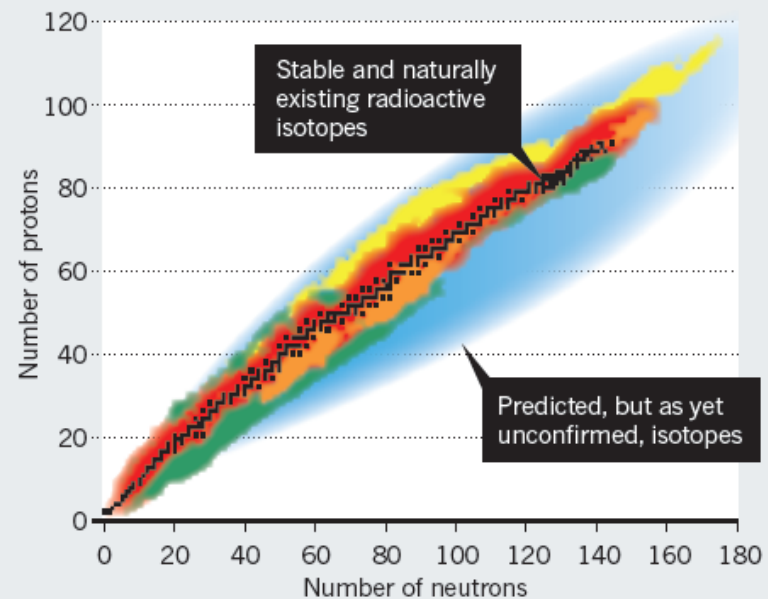
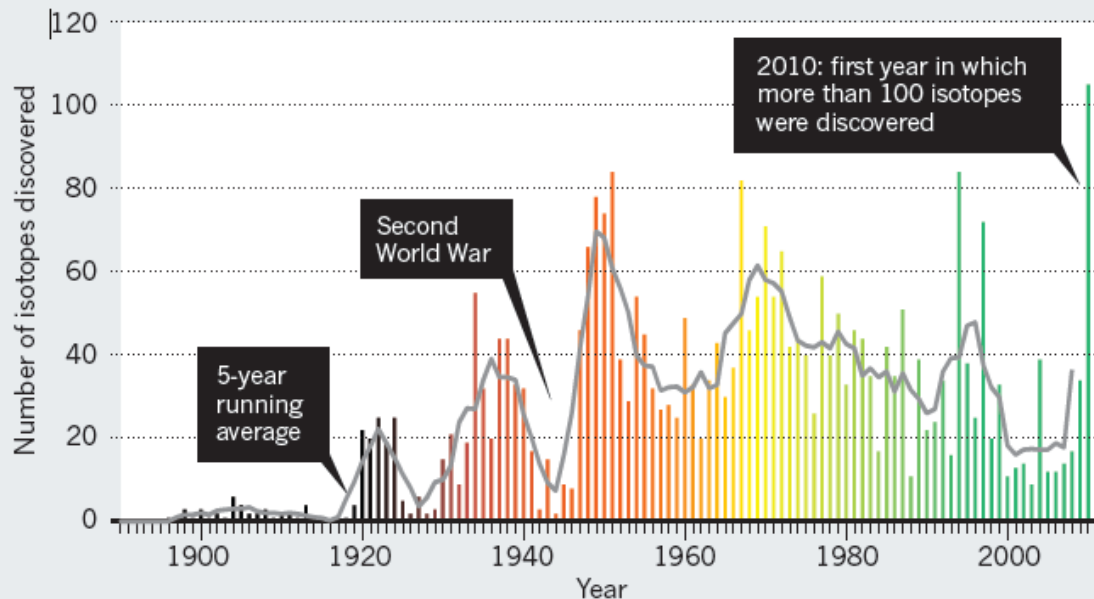
Creating more exotic isotopes will reveal the stellar formation of atoms — a fitting tribute to Ernest Rutherford, say **Michael Thoenessen** and **Bradley Sherrill**.

THE NUCLIDE TRAIL

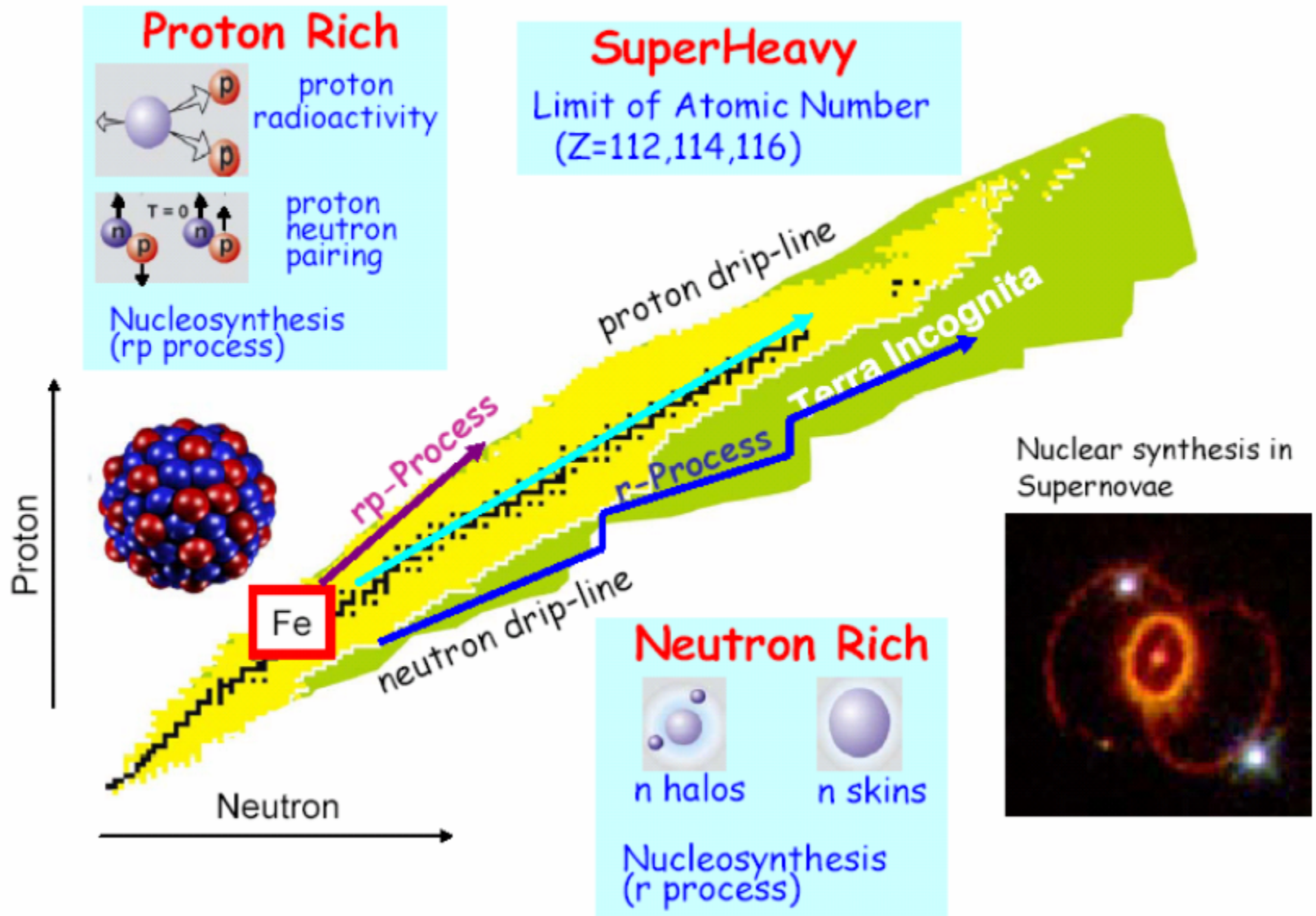
Isotope discovery over the past 100 years (below) has jumped with each introduction of new technology. Some 2,700 radioactive isotopes have been discovered so far (below right), but about 3,000 more are predicted to exist.

Isotope-discovery technique

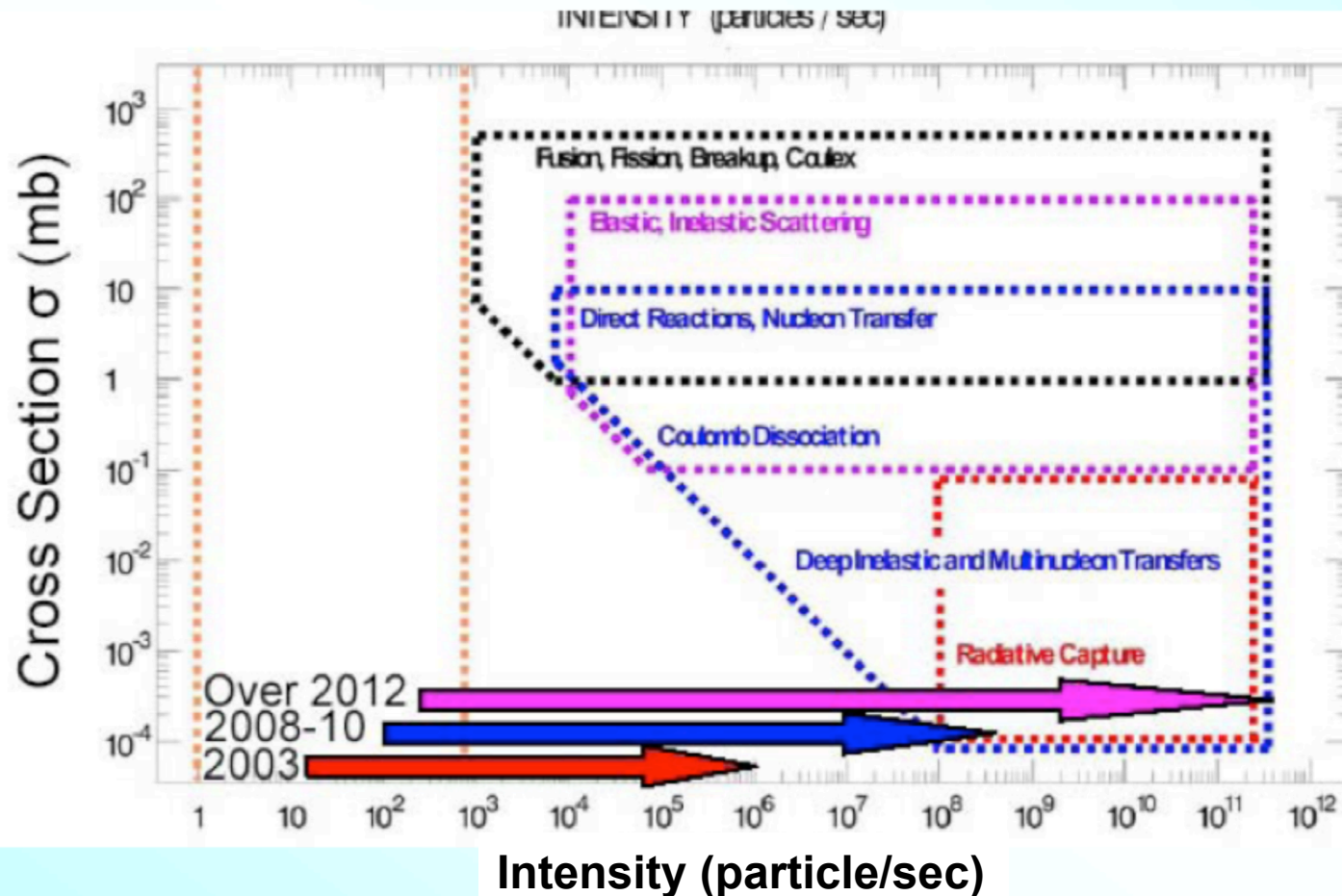
- Light particle reactions
- Neutron reactions
- Fusion
- Fragmentation/spallation



Frontiers of Nuclear Structures: Exotic Nuclei



The different nuclear structure properties (or excitation modes)
 Needs the use of different reaction mechanisms which correspond
 to cross sections varying over 8 order of magnitude



Reazioni di Produzione

Method	Part /sec	Physics
Detection and identification	10 ⁻⁵	Limits of nuclei, Existence
Stripping reactions	10 ⁴	Nuclear properties beyond the drip lines
Mass measurements	10 ⁻²	Masses, explosive nucleosynthesis
Interaction cross section	10 ⁻²	Radii, nuclear size
Knockout reactions	10 ⁵	Halos, cluster models, spectroscopic factors
Heavy-ion collisions	10 ⁵	Nuclear compressibility, EOS, supernovae
Giant dipole resonance	10 ⁶	Nuclear size and shape, r-process
Nuclear size and shape, r-process	10 ⁷	Nuclear compressibility, EOS, neutron stars, supernovae
Coulomb excitation (2+)	1	Evolution of shell structure, r-process
Elastic scattering	10 ³	Radii, density distributions
Inelastic scattering	10 ³	Nuclear structure, rp-process
Nuclear structure, rp-process	10 ⁴	Proton drip line, rp-process
Charge exchange	10 ⁶	Gamow-Teller strength, supernova core evolution,
Lifetimes/ β -decay studies	10 ⁻³	Nuclear deformation, shell evolution, explosive nucleosynthesis, r-process,
β -NMR	10	Ground-state moments
Micro-second isomers	10 ⁻³	Shell structure, single particle states

Primo problema:

Intensita' dei fasci di ioni radioattivi da usare come fasci secondari :

- Quali sono i problemi tecnici per avere fasci con intensita' paragonabili con quella di ioni con nuclei stabili?

(10^{10-11} ioni/s)

- perche' servono alte intensita' ?

$$N_{\text{prod}} = N_{\text{inc}} N_{\text{targ}} \sigma$$

[ions/sec] [ions/sec] [nucl/cm²] [cm²]

$$N_{\text{prod}} = \frac{I(eA)}{Z_{\text{proj}} e [\text{coul}]} \frac{N_A \chi [\text{gr/cm}^2]}{A_{\text{targ}} [\text{gr}]} \sigma [\text{cm}^2]$$

$$N_{\text{prod}} = \frac{I(\text{enA}) 10^{-9} 10^{19}}{Z_{\text{proj}} 1.602} \frac{6.02 \cdot 10^{23} \chi [\mu\text{gr/cm}^2] 10^{-6}}{A_{\text{targ}}} \sigma [\text{mbarn}] 10^{-27}$$

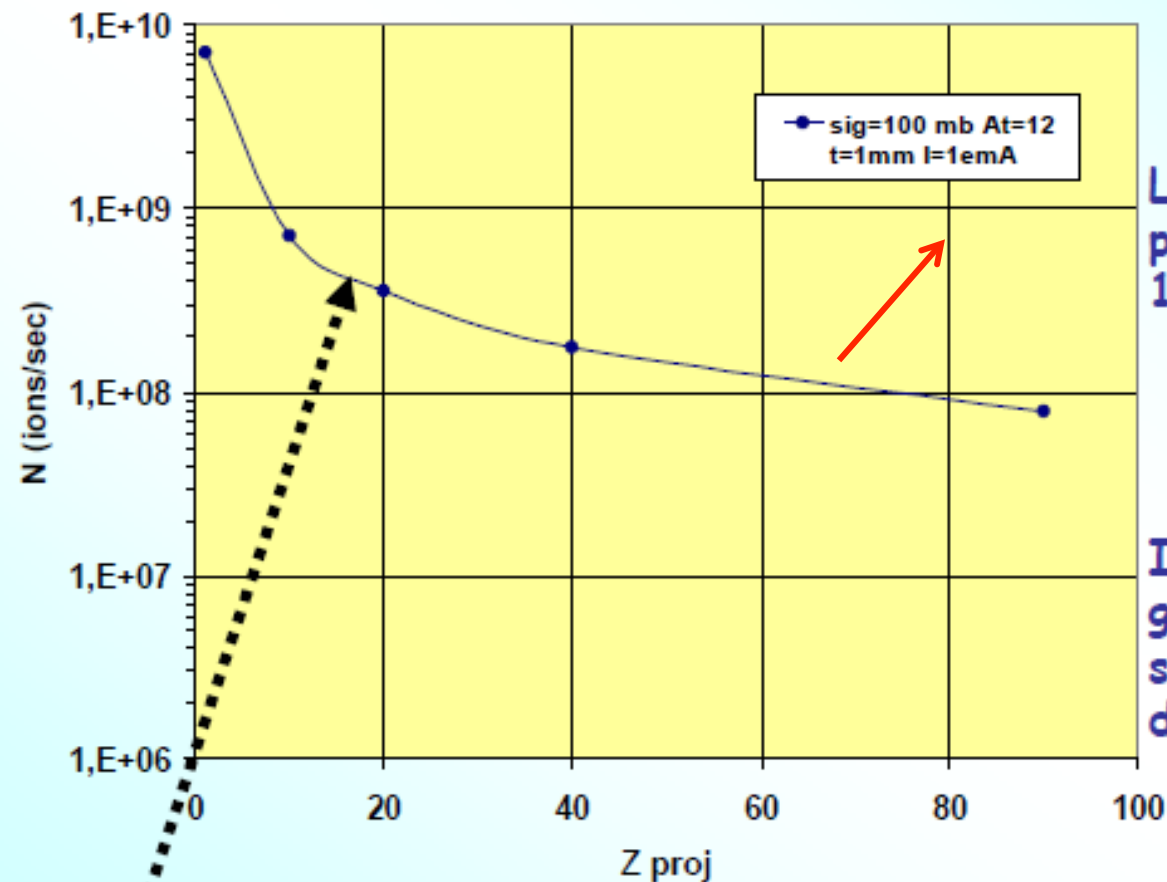
$$N_{\text{prod}} = \frac{3.76 I(\text{enA}) \chi [\mu\text{gr/cm}^2] \sigma [\text{mbarn}]}{Z_{\text{proj}} A_{\text{targ}}}$$

$$\chi [\mu\text{gr/cm}^2] = \rho [\text{gr/cm}^3] t [\mu\text{m}] 10^2$$

Esempio : $\rho = 2 \text{ gr/cm}^3$ $e \text{---} t = 1 \text{ mm}$ $\chi = 2 \cdot 10^5 \mu\text{gr/cm}^2 = 200 \text{ mg/cm}^2$

N prod vs Zproj

$I = 10 \text{ enA} \rightarrow 0.6 \cdot 10^{11} \text{ protons/sec}$



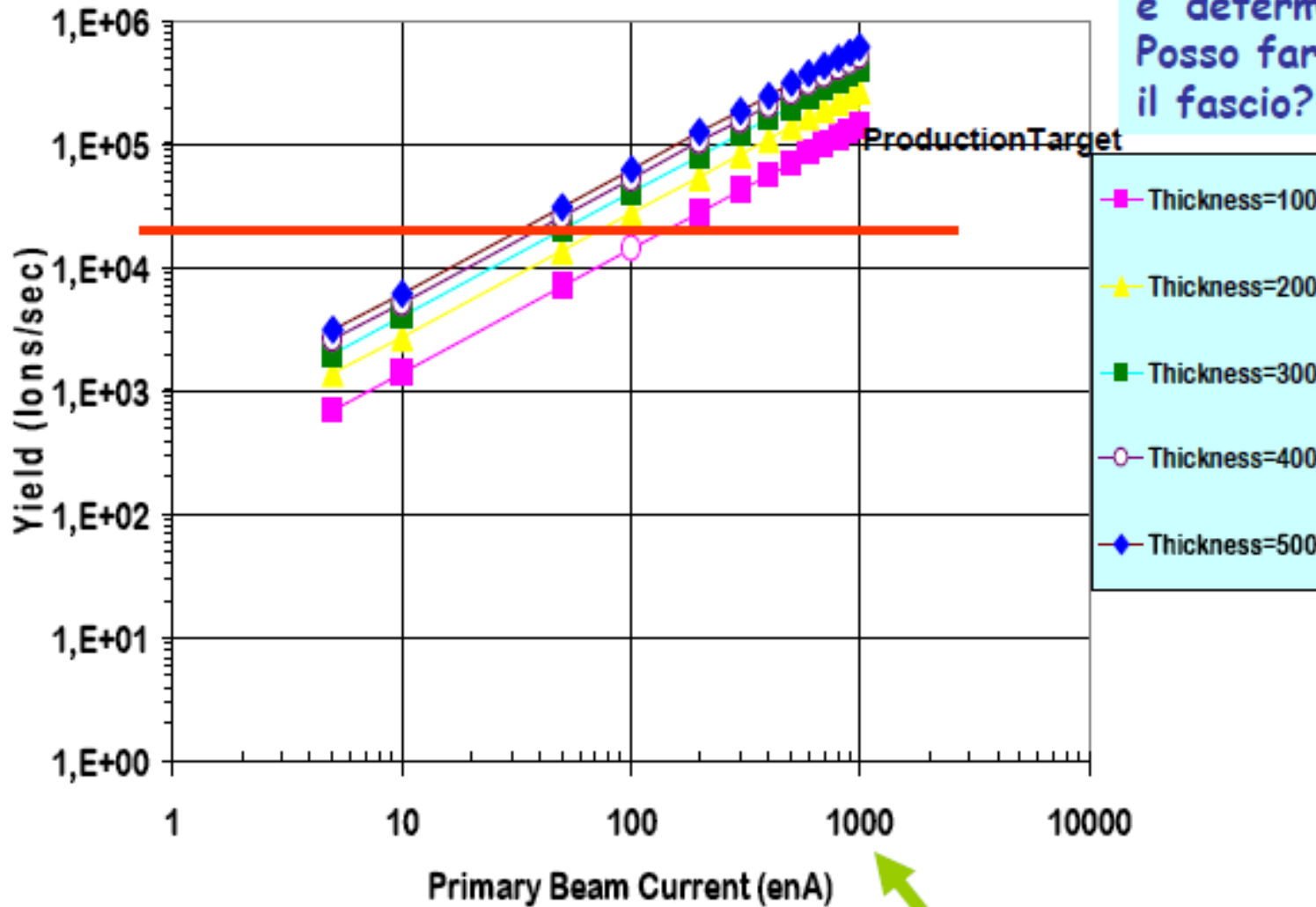
La fisica con i fasci di ioni pesanti si fa con intensita' $10^9 - 10^{11}$ ioni al secondo

I fasci secondari di seconda generazione con 10^8 ioni al secondo potenze dell'ordine di 100 kWatt!

Potenza (W) = $I V = I (\text{Energy/Charge state})$

Es: $I=1 \text{ mA}$ $E=50 \text{ A MeV}$ di O^{16} completamente strappato (O^{8+}):
 $P = 1 \cdot 10^{-3} (50 \cdot 16/8) \cdot 10^6 = 100 \text{ kW}$

Cl^{40} production yield in Ar+Be@50 AMeV



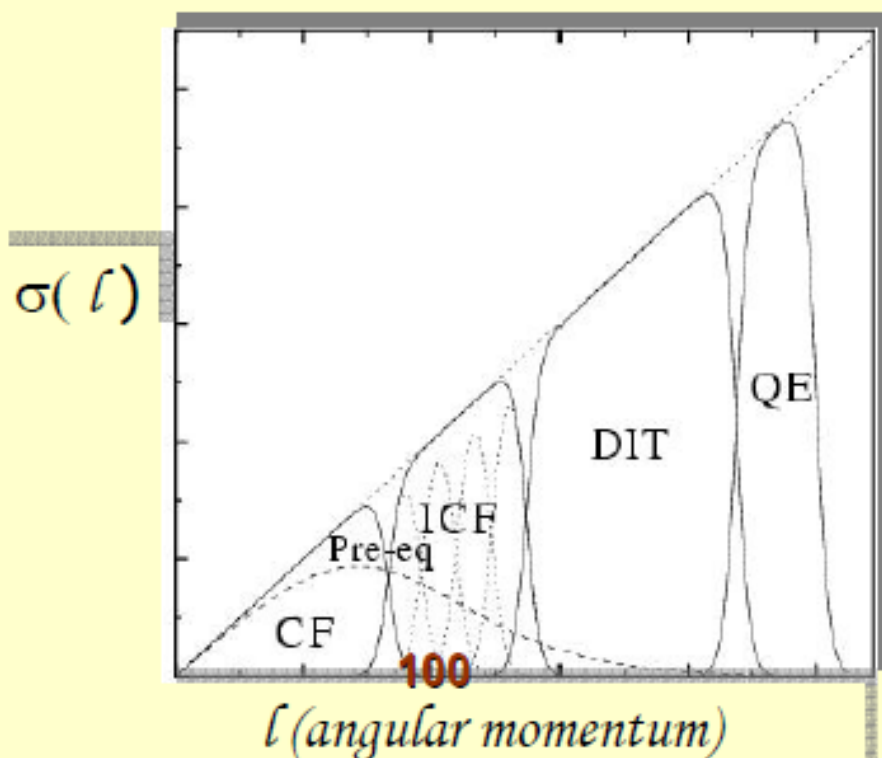
Lo spessore del bersaglio e' determinante : Posso far fermare il fascio?

≈ 1 kWatt

Fasci radioattivi prodotti utilizzando ioni pesanti

- Con ioni pesanti, dovuto al breve range non posso fare bersagli spessi se voglio utilizzare direttamente i prodotti di reazione
 - Se aumento l'energia in modo da poter fare uscire i prodotti dal bersaglio cambiano i meccanismi di produzione !
- ✓ Quindi a secondo dei nuclei di interesse devo studiare:
- 1) quale sono le reazioni migliore per produrli (tipo ed energie)
 - 2) l'energie d'interesse alle quali voglio avere i nuclei radioattivi per studiarne le loro caratteristiche eccitandoli con reazioni nucleari

Reazioni di Produzione



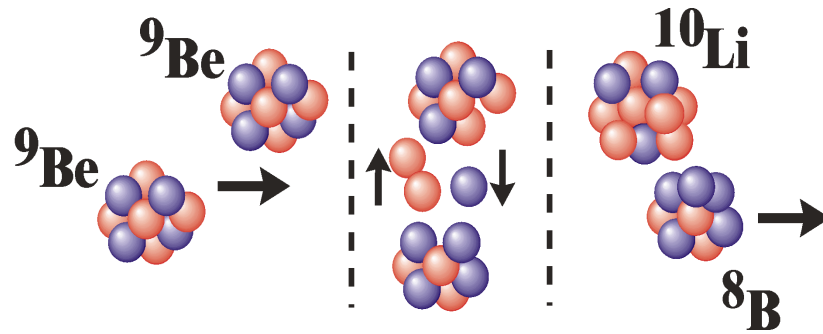
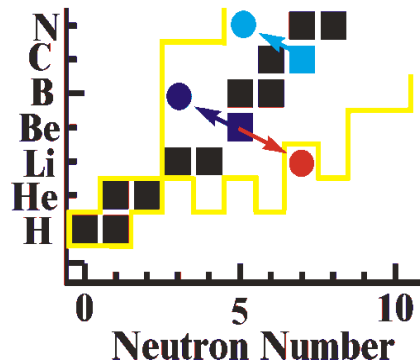
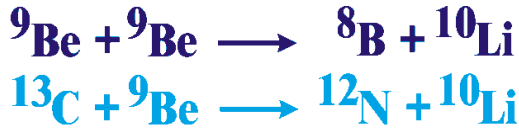
• Bassa Energia (Fusione, Fissione, Reazioni dirette, Deep Inelastic)

• Alta Energia (Frammentazione Proiettile o Targhetta, Spallation, Fissione in volo)

- peripheral elastic and quasi-elastic (QE) collisions
- semi-peripheral deep-inelastic collisions (DIT) collisions
- incomplete (ICF) and complete (CF) fusion in central collisions
- pre-equilibrium emission typically preceding ICF/CF and DIT

Reazioni di Produzione

Transfer

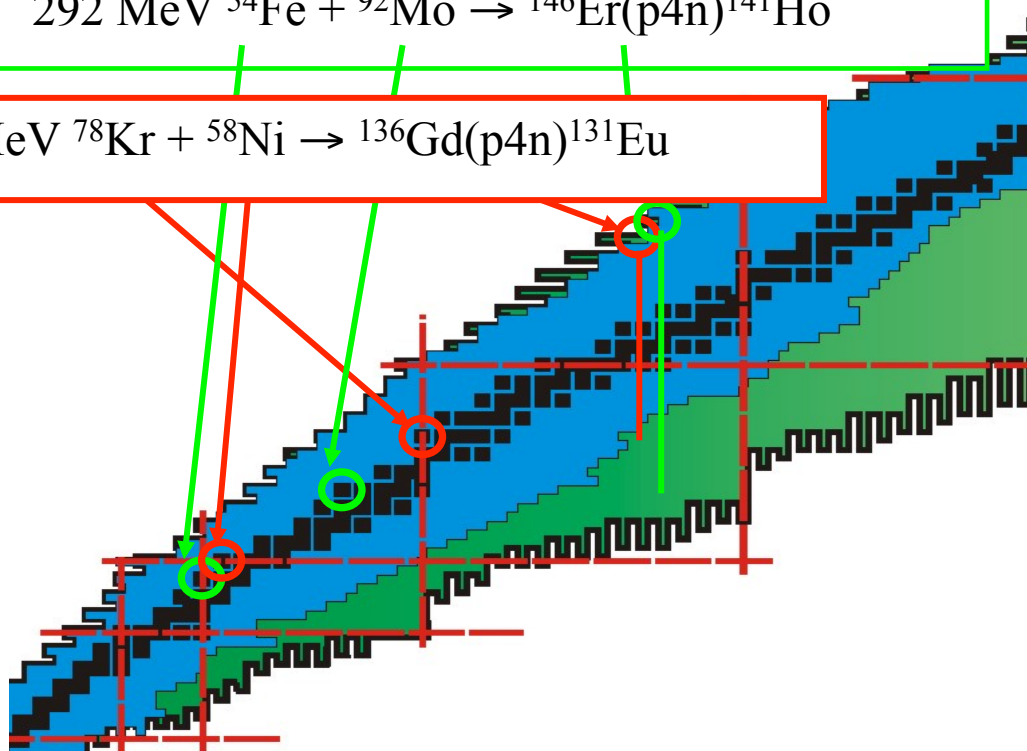
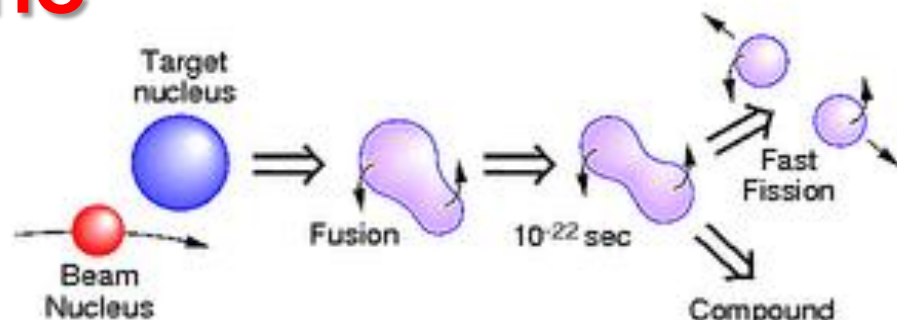


In generale:

- Piccate ad angoli in avanti
- $\sigma \cong 10^{-1} - 10$ mbarn
- few-nucleons away from projectile and target

Reazioni di Produzione

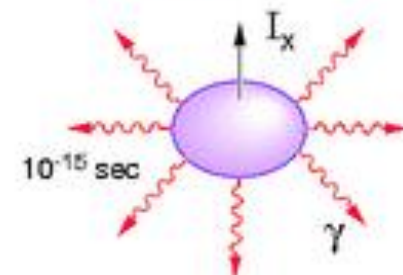
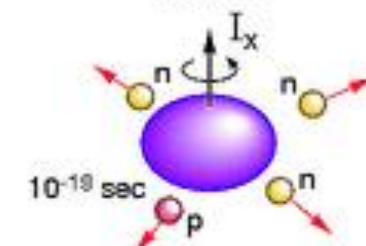
Fusion



Compound Formation

$\hbar\omega \sim 0.75 \text{ MeV}$
 $\sim 2 \times 10^{20} \text{ Hz}$

Rotation

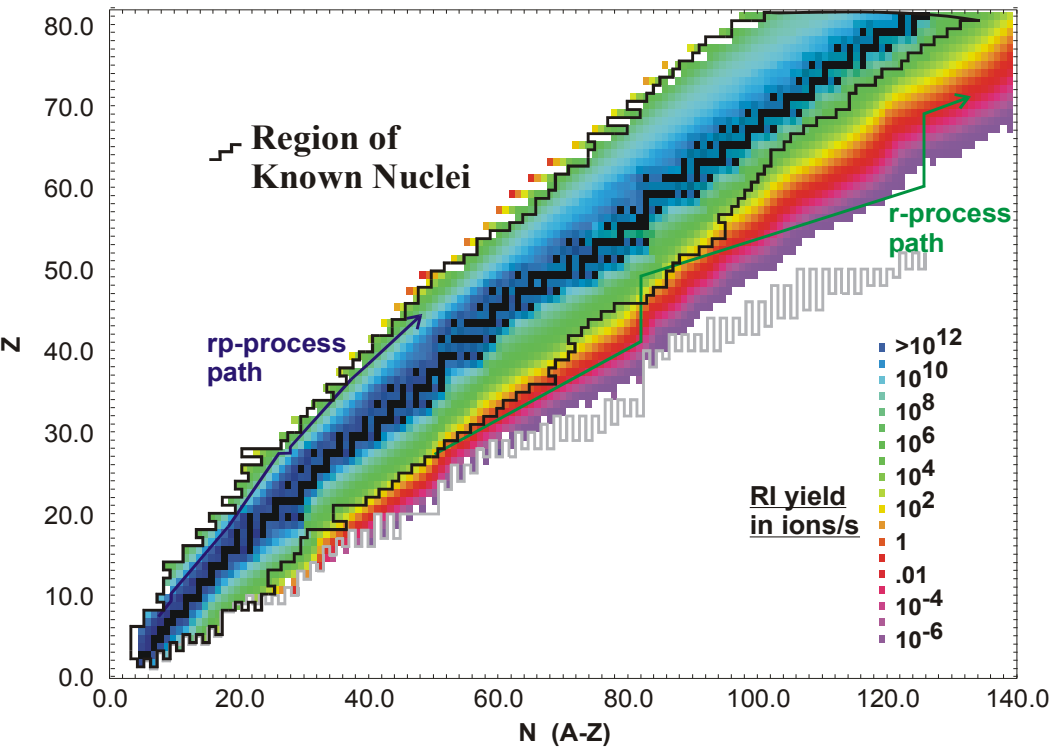
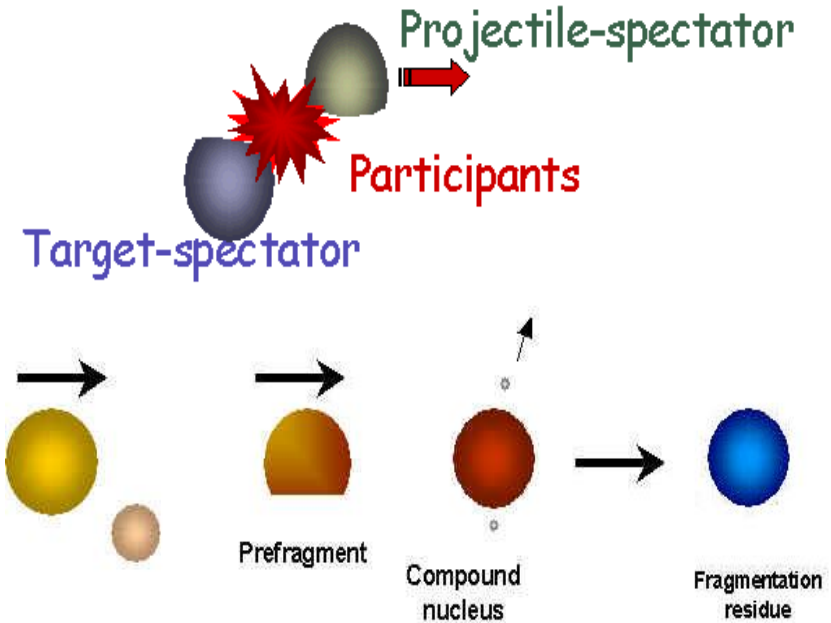


A.A. Sonzogni *et al.*, Phys. Rev. Lett. **83** 1116 (1999)

D. Seweryniak *et al.*, Phys. Rev. Lett. **86** 1458 (2001)

Reazioni di Produzione Projectile Fragmentation

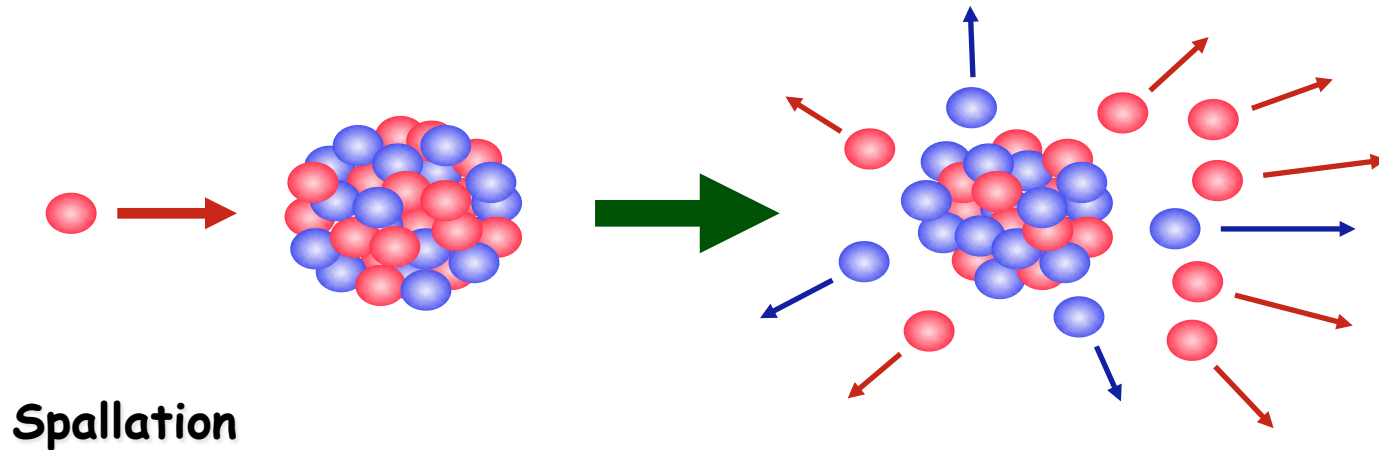
Participant-spectator reactions
at relativistic energies
(above 100 A MeV)



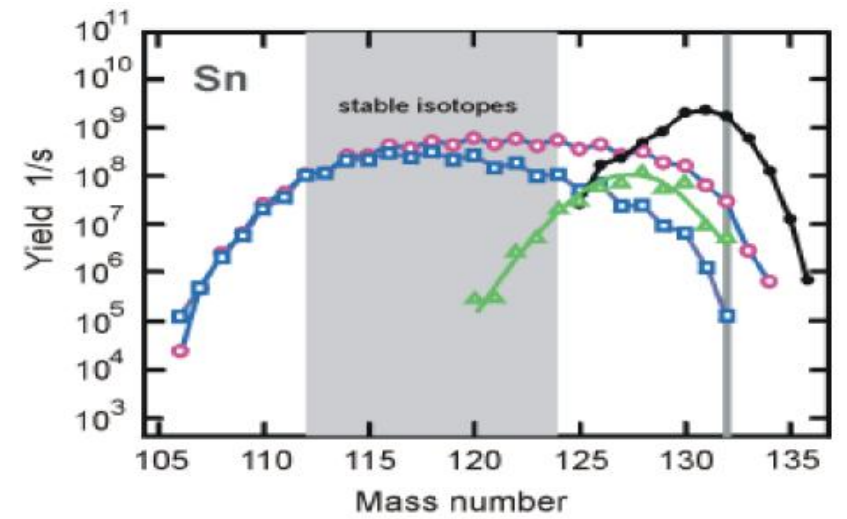
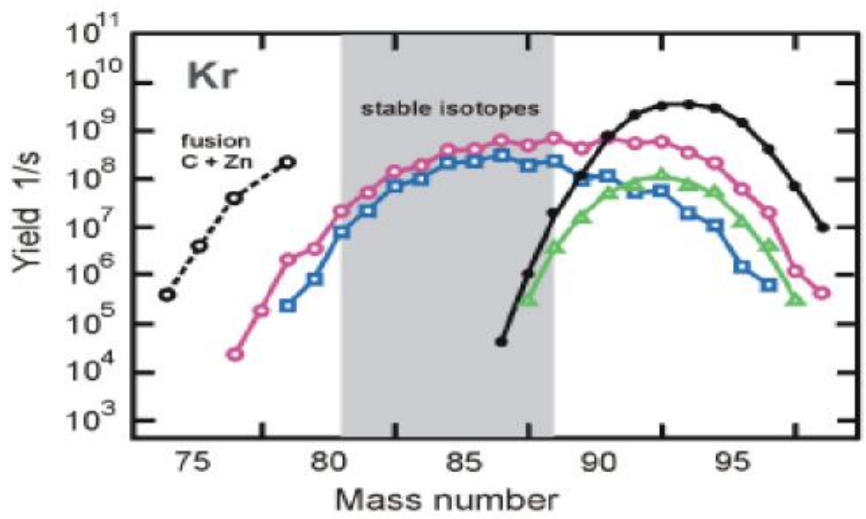
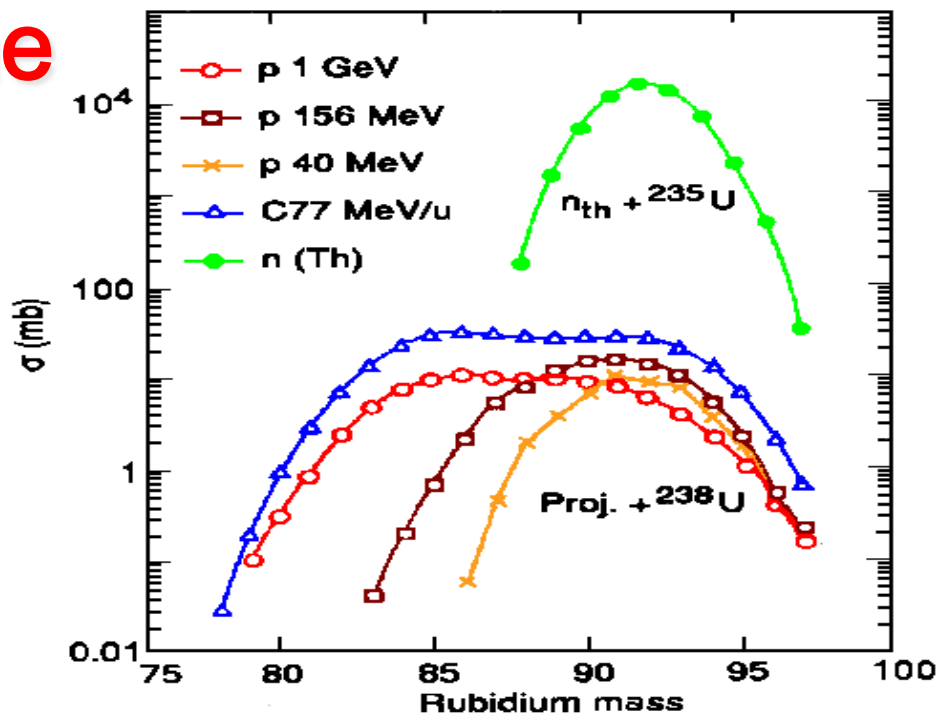
Reazioni di Produzione

Target Fragmentation

Random removal of protons and neutrons from heavy target nuclei by energetic light projectiles (pre-equilibrium and equilibrium emissions).

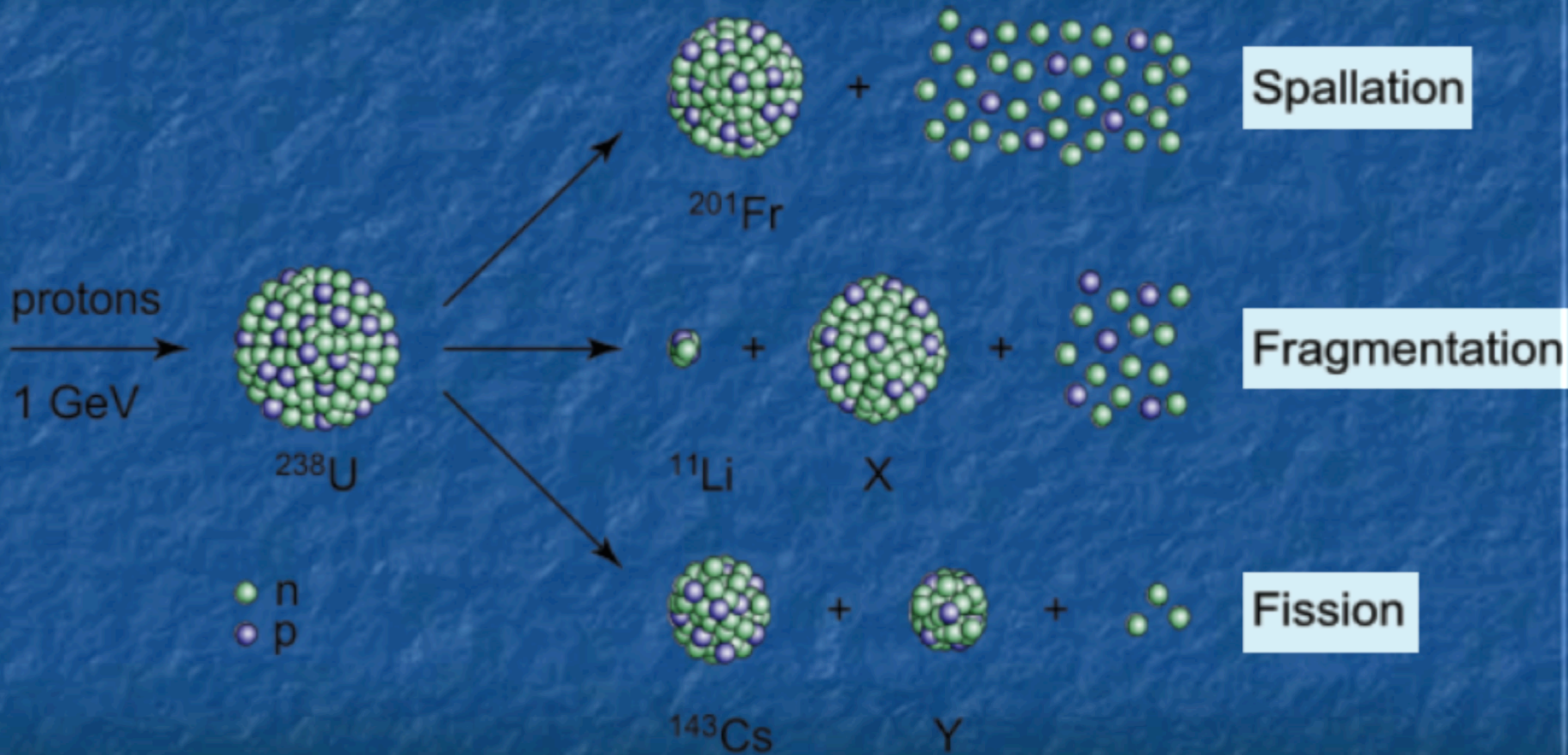


Reazioni di Produzione Comparisons

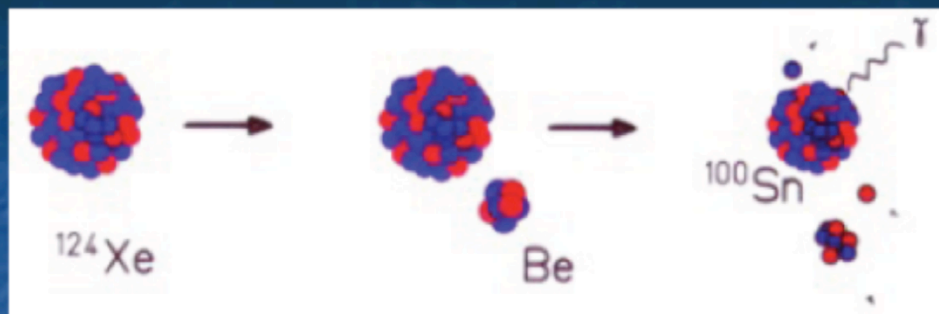


- | | | | |
|--------------------------|---------------------------------|---|---------|
| FRAGMENTATION | $\circ-\circ-\circ$ | ${}^{238}\text{U}(1\text{GeV}/n, 1 \cdot 10^{12}/\text{s}) + \text{Be}$ | SIS 100 |
| ISOL + POST ACCELERATION | $\square-\square-\square$ | p(1GeV, 8 μA) + ${}^{238}\text{U}$ | SIS 100 |
| | $\triangle-\triangle-\triangle$ | d(150MeV/n, 100 μA) + ${}^{238}\text{U}$ | HELINAC |
| | $\bullet-\bullet-\bullet$ | e $^{-}$ (25MeV, 20 μA) + ${}^{238}\text{U}$ | MT-25 |

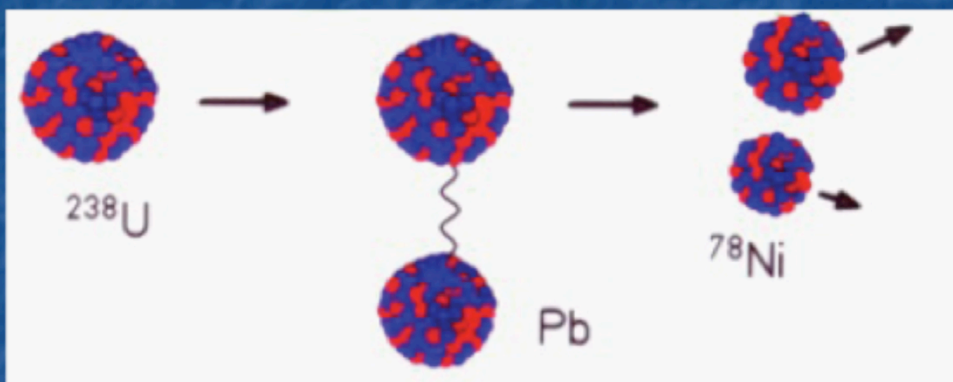
Proton induced reactions



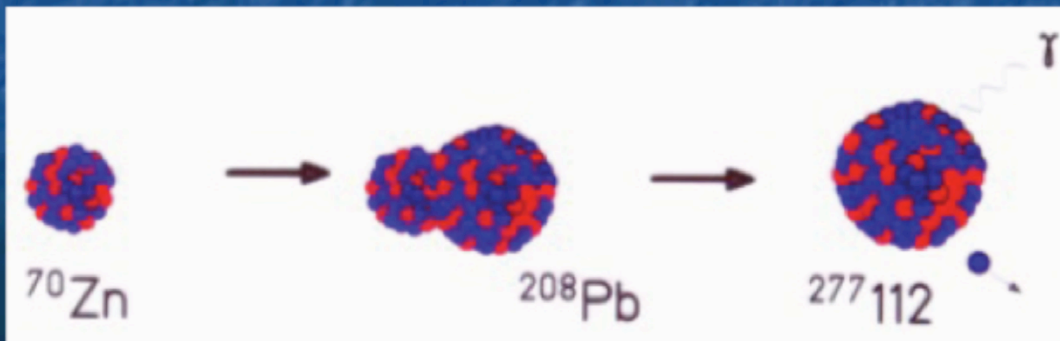
Heavy-ion induced reactions



Fragmentation

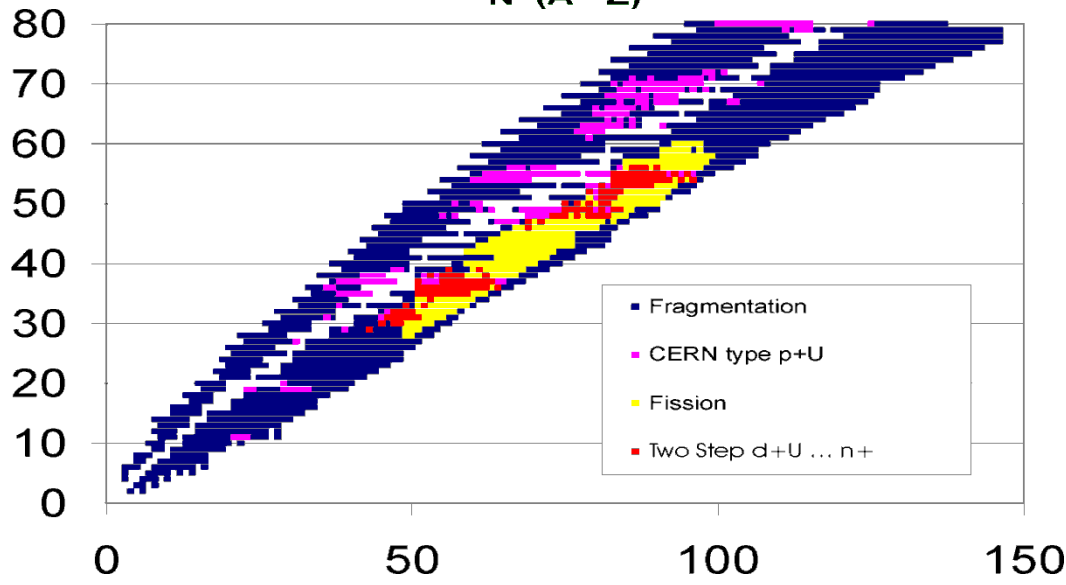
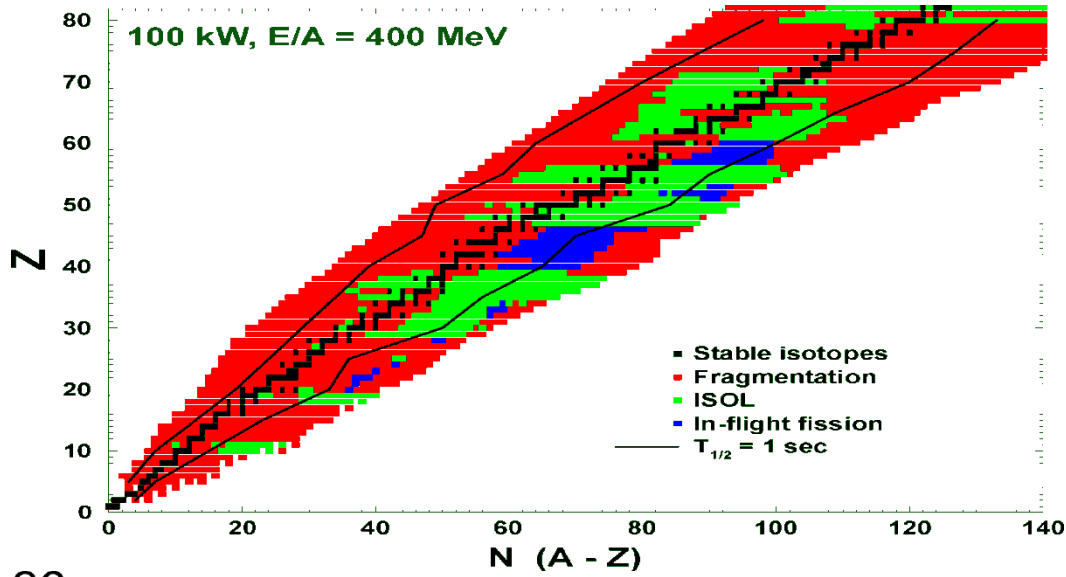


Coulomb
dissociation



Fusion

Optimum Reazioni di Produzione



Metodi di produzione

ISOL

Isotope separation on line

fascio primario p, n, d, ...ioni pesanti di massa intermedia (energie da 10 di MeV fino a GeV)

In flight

Ioni pesanti (medio pesanti - pesanti)
con energie da circa 100 MeV

•In-Flight (Fascio prodotto direttamente nella reazione)



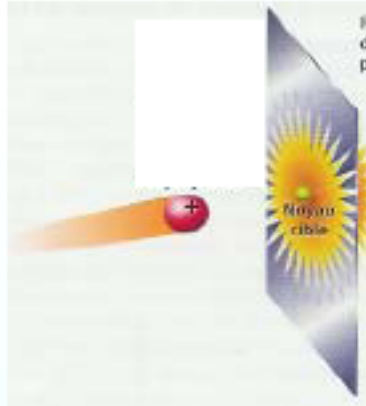
•Degradars
•Tagging

**Metodi
di
Produzione**

•ISOL (Prodotti di reazione accelerati in un secondo acceleratore)



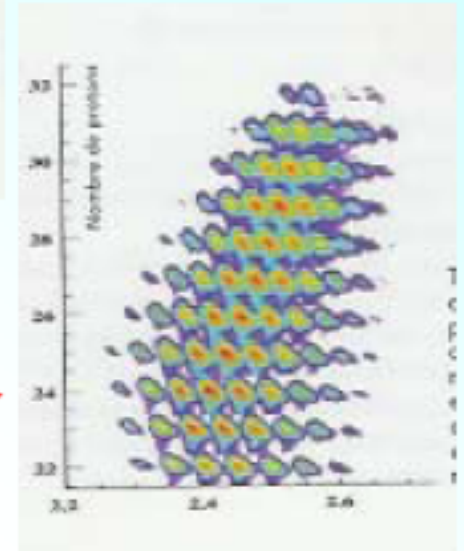
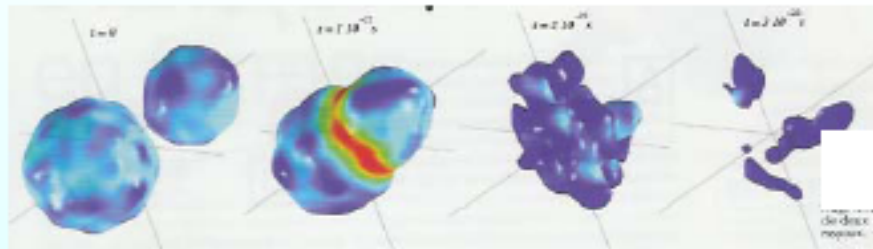
FRAGMENTATION METHOD



Thin target



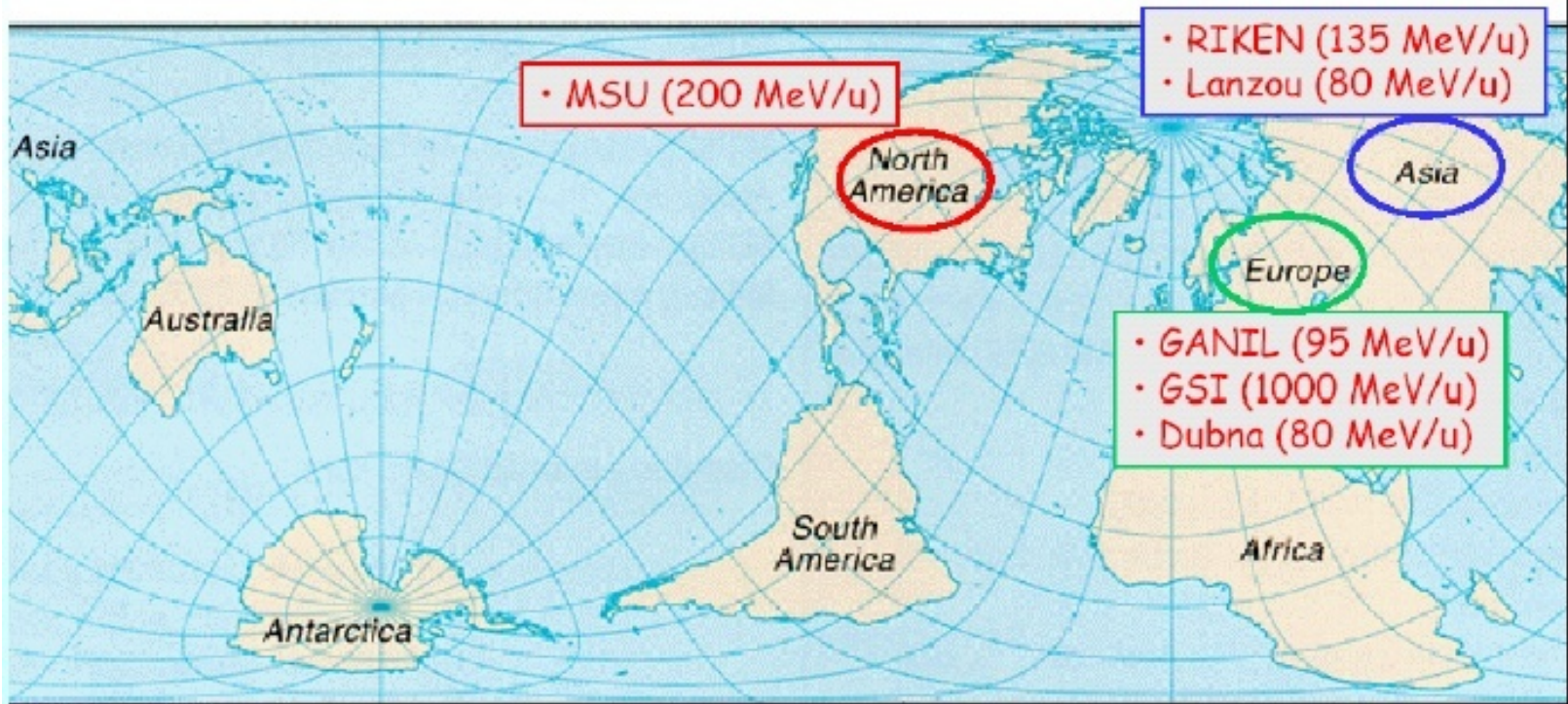
FRAGMENT SEPARATION

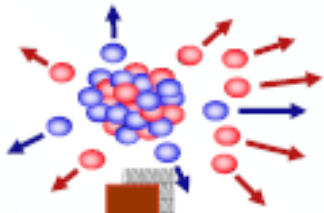


High energy beams
Large spot size and beam cocktails
Exotic Nuclei with short lifetimes $< 1\text{ms}$

Existing facilities:
GSI
GANIL
MSU
RIKEN

In-Flight facilities

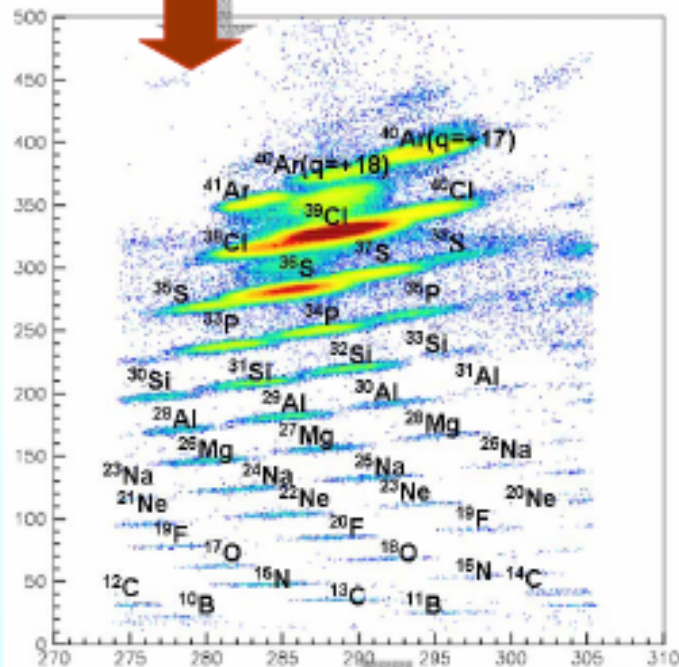




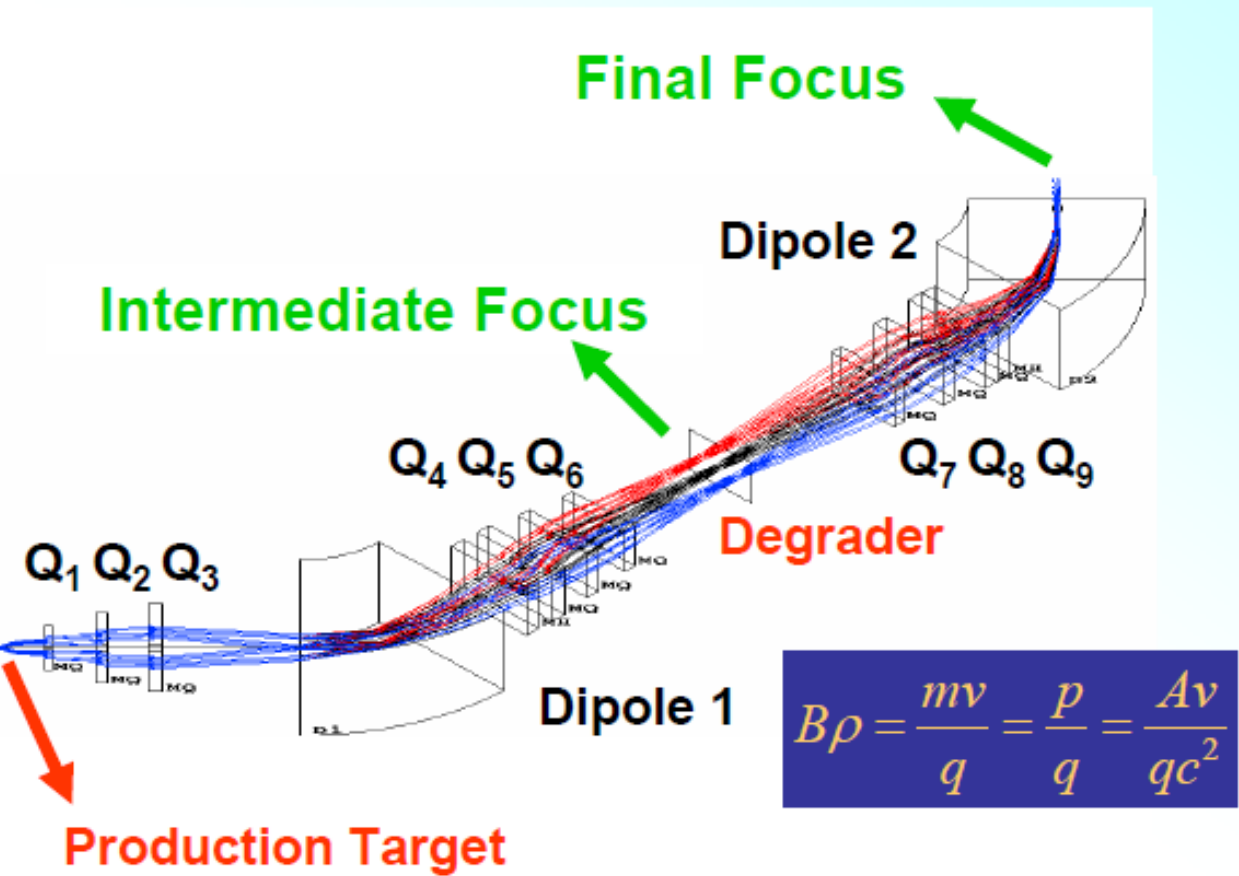
Metodo In-Flight

- Relativi problemi di radioattività
- RIBs con vite medie piccole (<msec)

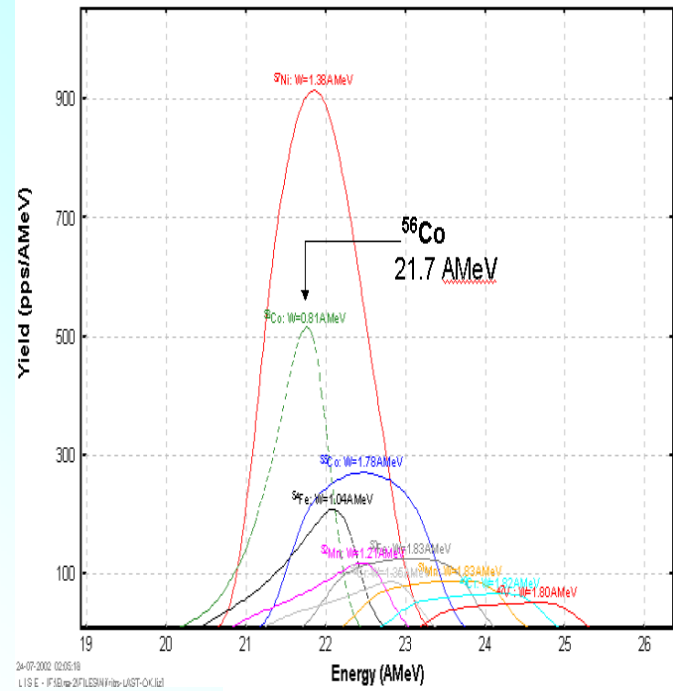
- RIBs non "monoenergetici"
- Energia fascio dopo la frammentazione → NON REGOLABILE



- Separazione ElettroMagnetica (Cocktail di RIBS)
- Uso di "Degradere"



$$B\rho = \frac{mv}{q} = \frac{p}{q} = \frac{Av}{qc^2}$$



24-07-2002 02:05:19
LISE - FIB et 2FLE3N Fibre UST-OK.ltd

The relative energy loss in the degrader is given by:

$$\frac{dE}{E} \cong eK \frac{A^3}{Z^2}$$

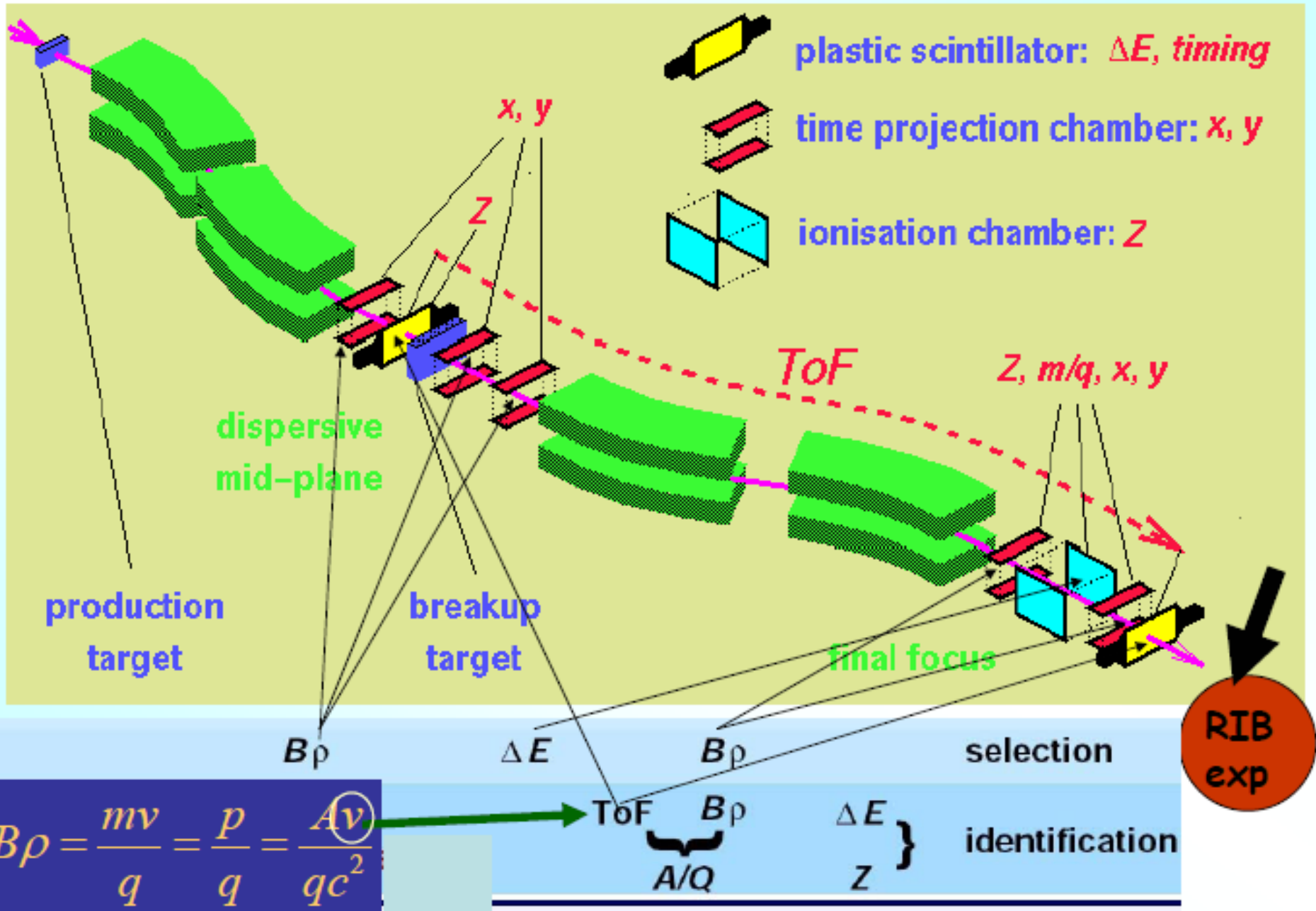
K: constant typical of the degrader
A: nucleus mass
e: thickness of the degrader
Z: atomic number

- ☹ ENERGY STRAGGLING
- ☹ ANGULAR STRAGGLING
- ☹ NUCLEAR REACTIONS

INTENSITY LOSS

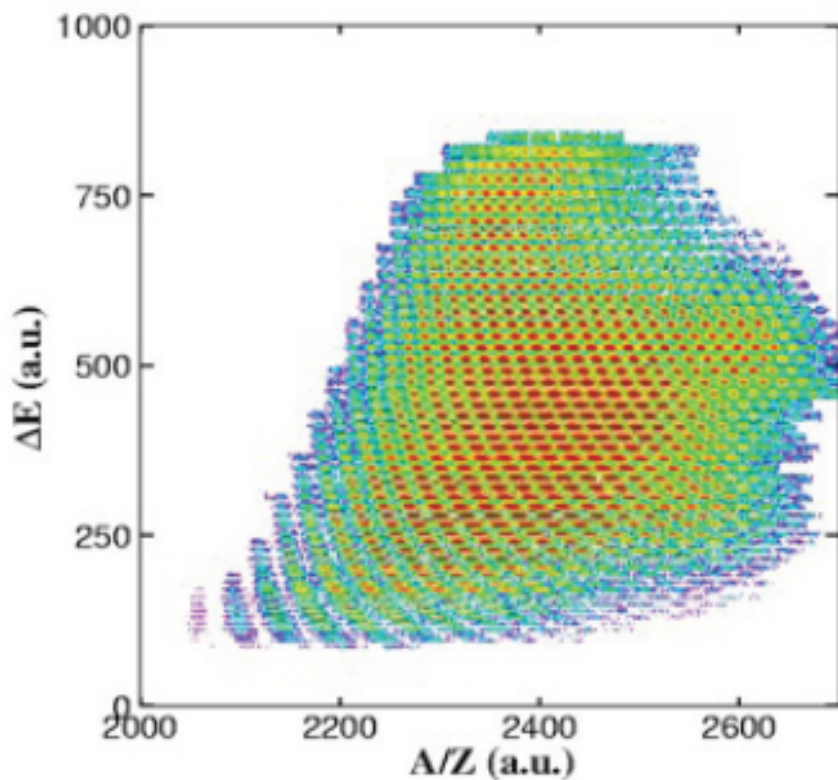
Thickness and material are chosen as a compromise between desired and undesired effects

FSR@GSI :

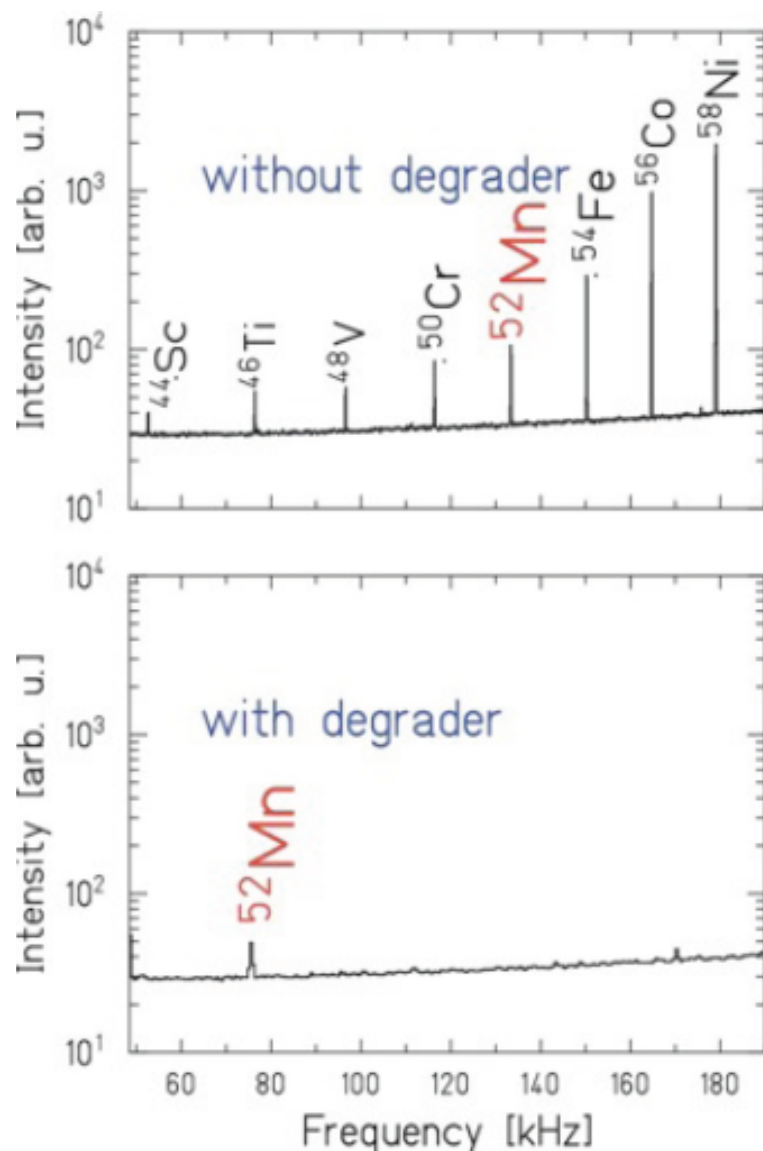


In-Flight production & separation

About 1000 nuclear residues identified



A/Z -resolution $\sim 10^{-3}$



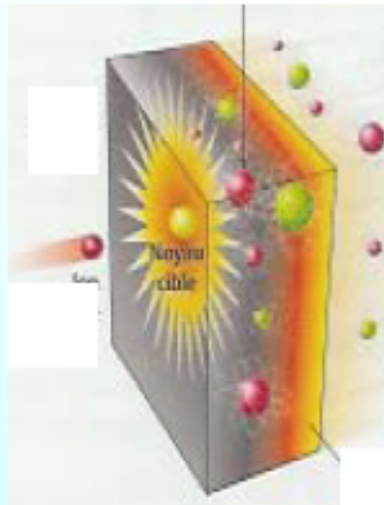
FASCI radioattivi a Bassa energia : Perche' servono?

- Reazioni attorno alla barriera (trasferimento, deep-inelastic, fusione) per popolare gli stati eccitati dei nuclei esotici e studiare la loro struttura
- La velocita' del nucleo emettitore ha $\beta < 0.2$ e quindi la spettroscopia γ e' piu' facile che con i fasci di Frammentazione on- flight
- **Caratterizzare le eccitazioni dei nuclei con misure ad alta risoluzione:**
 - Spettroscopia gamma**
usare rivelatori piu' segmentati ed efficienti per identificare il punto d'interazione per la correzione Doppler (Progetto AGATA)

ISOL TECHNIQUE

Ion projectiles
stopped
in a thick target
target heated and
the fragments
diffuse

Separation
of the fragments



Post acceleration of the
fragments

Ionization of the
fragments
Charge breeder

Existing facilities

Oak-Ridge

Triumf

Rex-Isolde

SPIRAL

Excyt

Good beam quality (pure beam and well focussed)
– ideal for beams up to 50 MeV/u

Limitation to nuclei with lifetimes larger than 1 ms

Metodo ISOL sviluppato al Niels Bohr Institute negli anni 50

Produzione di ioni di Kr
per studiare il
decadimento beta

They were investigating beta-decay and neutrino emission from neutron-rich krypton isotopes, produced in uranium fission. Using a variant of the “converter” method – now enjoying renewed interest for the next generation of RIB facilities – they used deuterons from their cyclotron on an internal target to produce neutrons. These then struck a uranium oxide target (mixed with baking powder) from which gas flowed. The gas was then ionised, extracted from a high-voltage platform and passed through a mass-separator, which selected the krypton ions of interest.

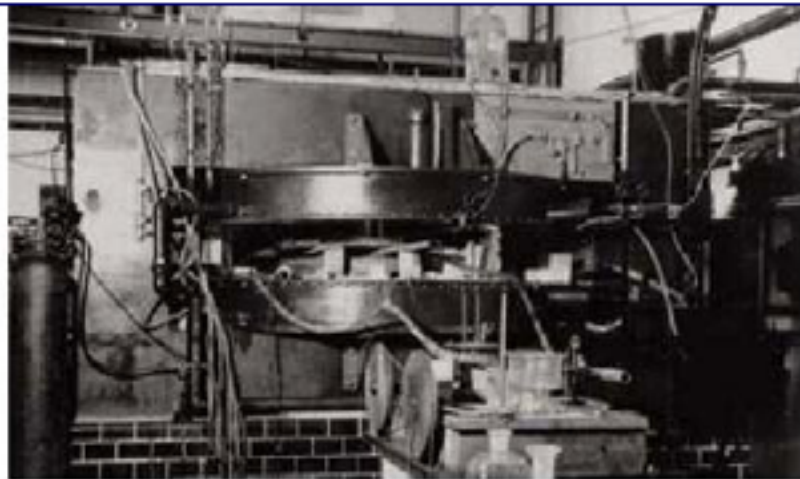
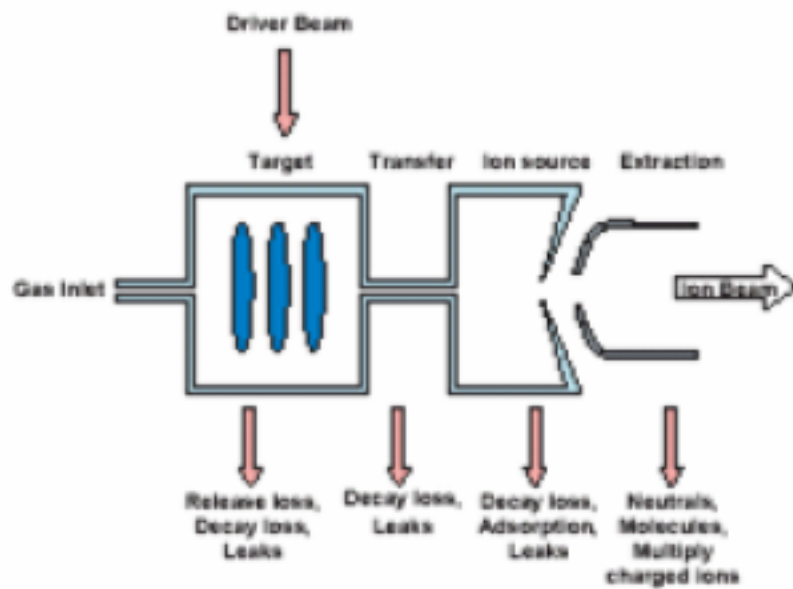
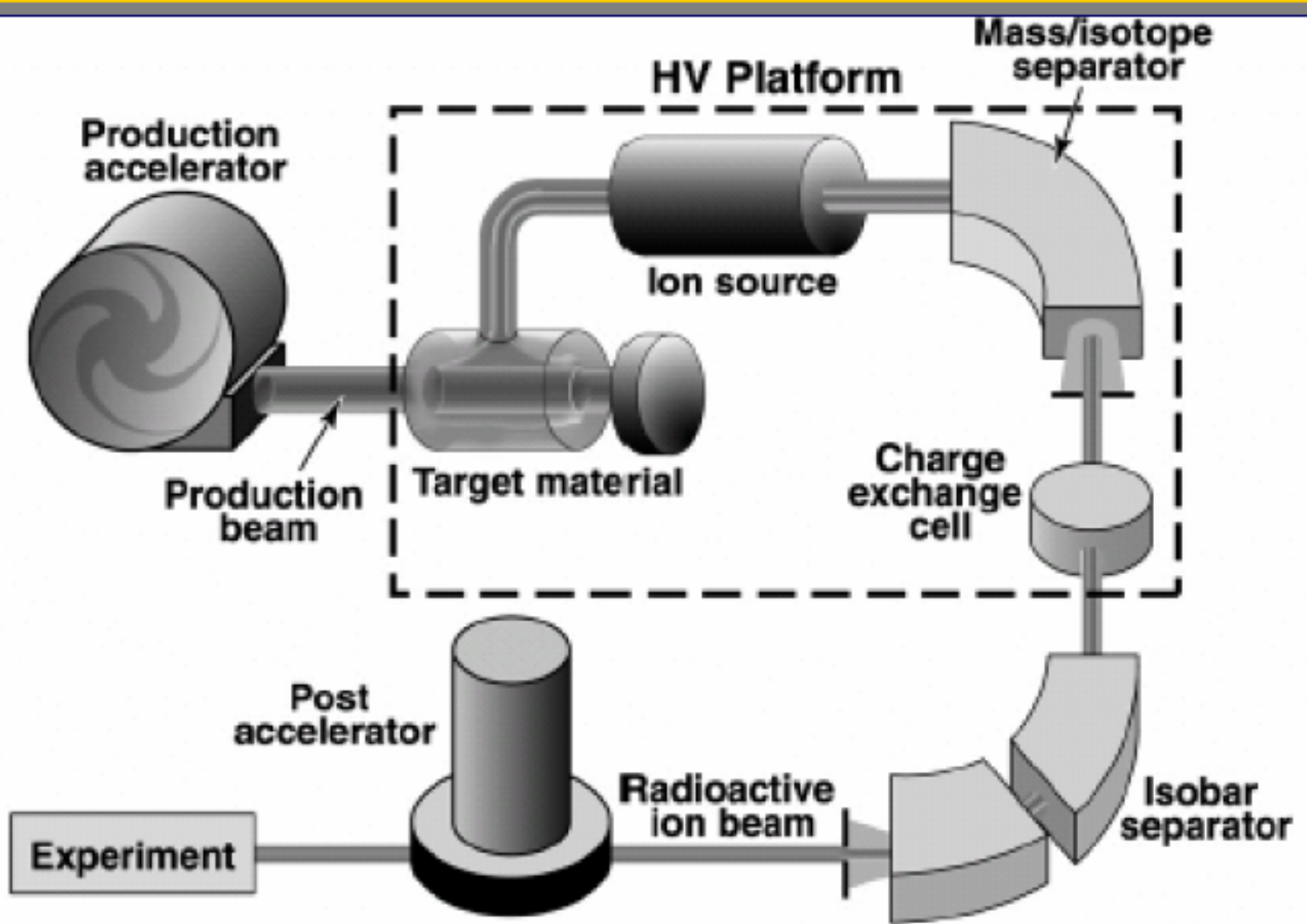


Figure 1: The Niels Bohr Institute cyclotron.



Intensità particelle prodotte

$$I = \sigma \times \Phi \times N \times \varepsilon_1 \times \varepsilon_2 \times \varepsilon_3 \times \varepsilon_4 \times \varepsilon_5$$

I = Intensità particelle prodotte

σ : cross-section,

Φ : primary-beam intensity,

N: target thickness,

ε_1 : product release and transfer efficiency,

ε_2 : ion-source efficiency,

ε_3 : efficiency due to radioactive decay losses,

ε_4 : efficiency of the spectrometer,

ε_5 : post-accelerator efficiency.

$\Phi \times N = \text{Luminosity}$

Metodo ISOL

Isotopes
Separation
On
Line

- Driver ad alta intensità (Dissipazione Calore)
- Targhette di produzione (Raffreddamento e Radioattività)
- Efficienza Selezione (20%)
- Efficienza di estrazione (30%)
- Efficienza di Trasmissione alla Sorgente (30%)

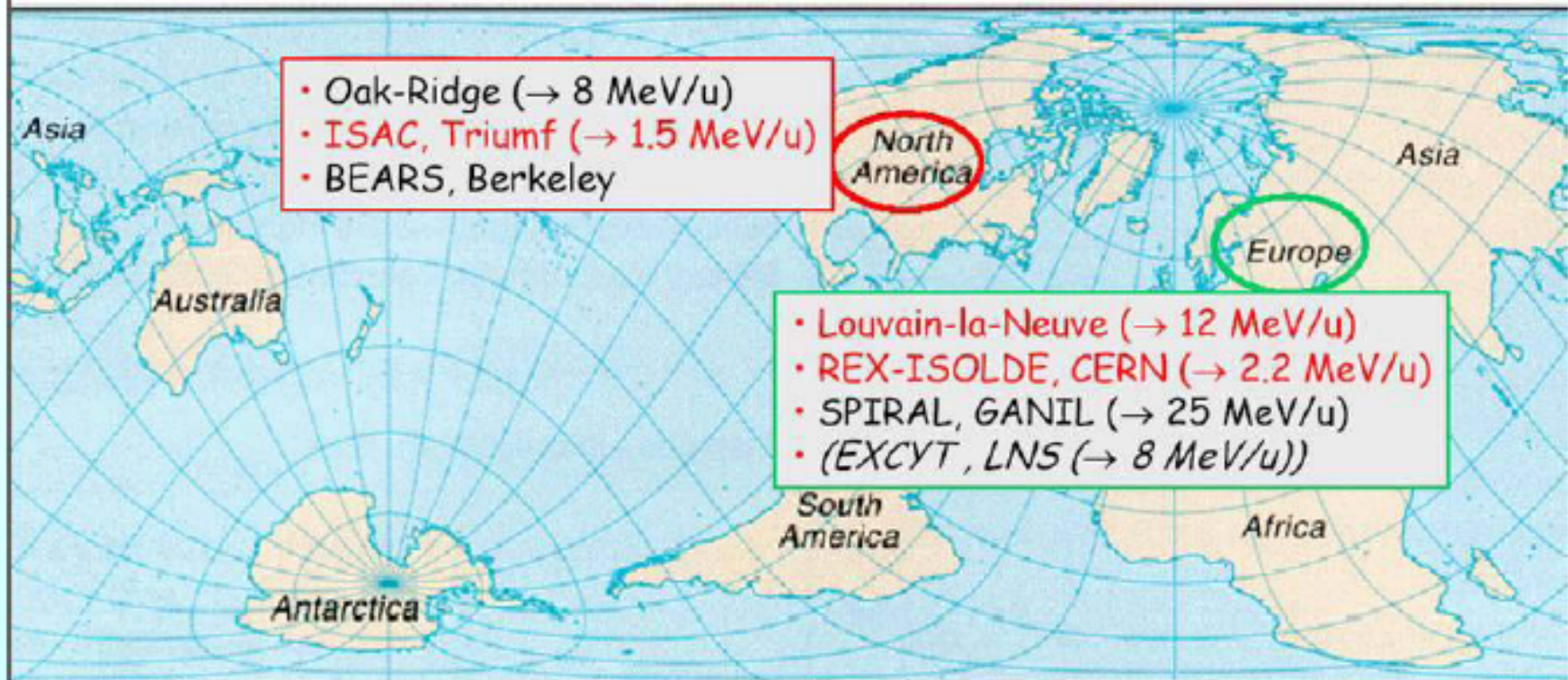
Potenza in gioco

Potenza (W) = $I V = I$ (Energy/Charge state)

Es: $I=1\text{mA}$ $E=50 \text{ A MeV}$ di O^{16} completamente strappato (O^{8+}):
 $P = 1 \cdot 10^{-3} (50 \cdot 16/8) \cdot 10^6 = 100 \text{ kW}$

Facilities of the first generation

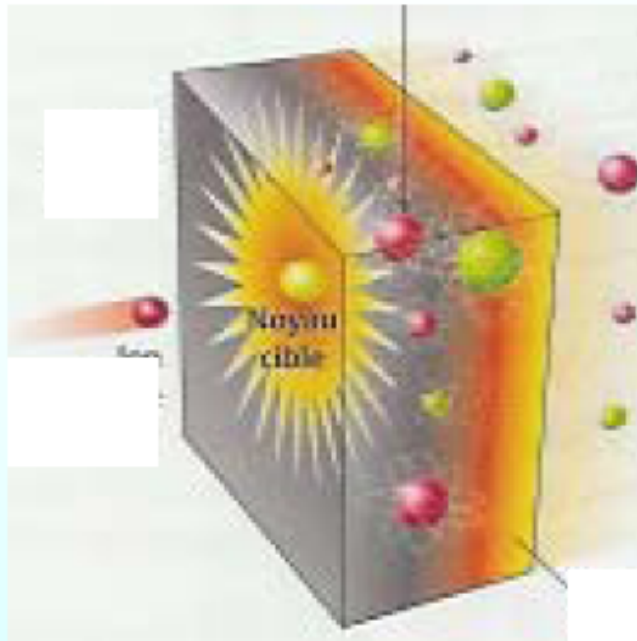
ISOL facilities



Potenze del fascio del driver primario di pochi kW

Proprieta' del bersaglio di produzione

ISOL: I nuclei prodotti dalle reazioni sono fermati nel bersaglio di produzione



Per estrarli si sfrutta il processo di effusione-diffusione nei solidi

Diffusione : e' il processo attraverso il quale la materia e' trasportata da una parte all'altra come risultato del moto molecolare di tipo random

Serve un gradiente termico

Indipendentemente dal meccanismo atomico responsabile della diffusione si descrive il coefficiente di diffusione macroscopico D (che dipende dalla temperatura, e dal materiale)

+ meccanismo di effusione per uscire dalla superficie

2. Effusion

= movement of a gas through tiny hole(s)
= faster for lighter molecules...

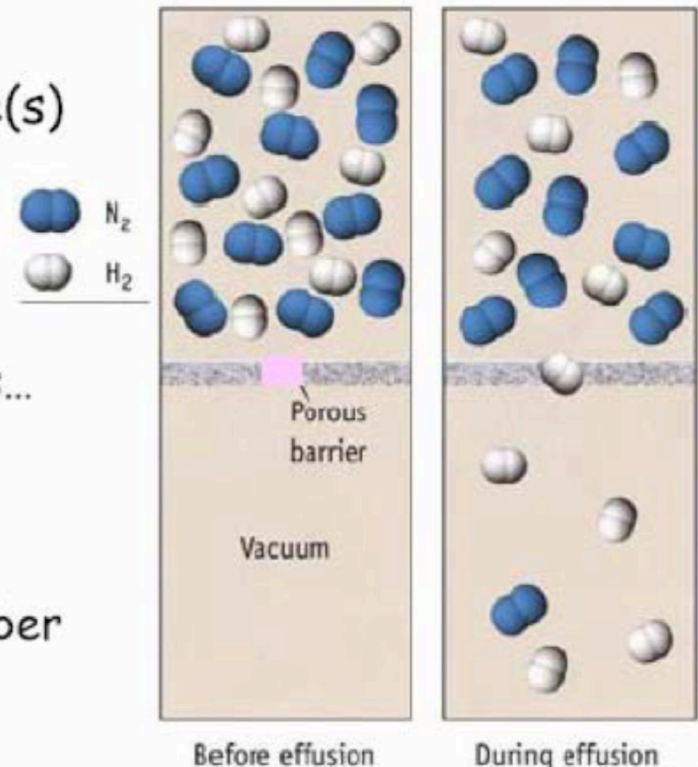
WHY DOES IT HAPPEN?

- molecules collide with container walls...
- but if "hit" the hole: go through!

BALLOONS:

- molecules effuse through holes in rubber
- rate (= moles/time) is:
proportional to temperature
inversely proportional to molar mass.

Thus: a He balloon deflates after a while...
He effuses out more rapidly than
 N_2 & O_2 from air effuse in.



ISOL : SERVE UN BERSAGLIO CON BUONA POROSITA' !

Efficienza di diffusion-effusion da temperatura

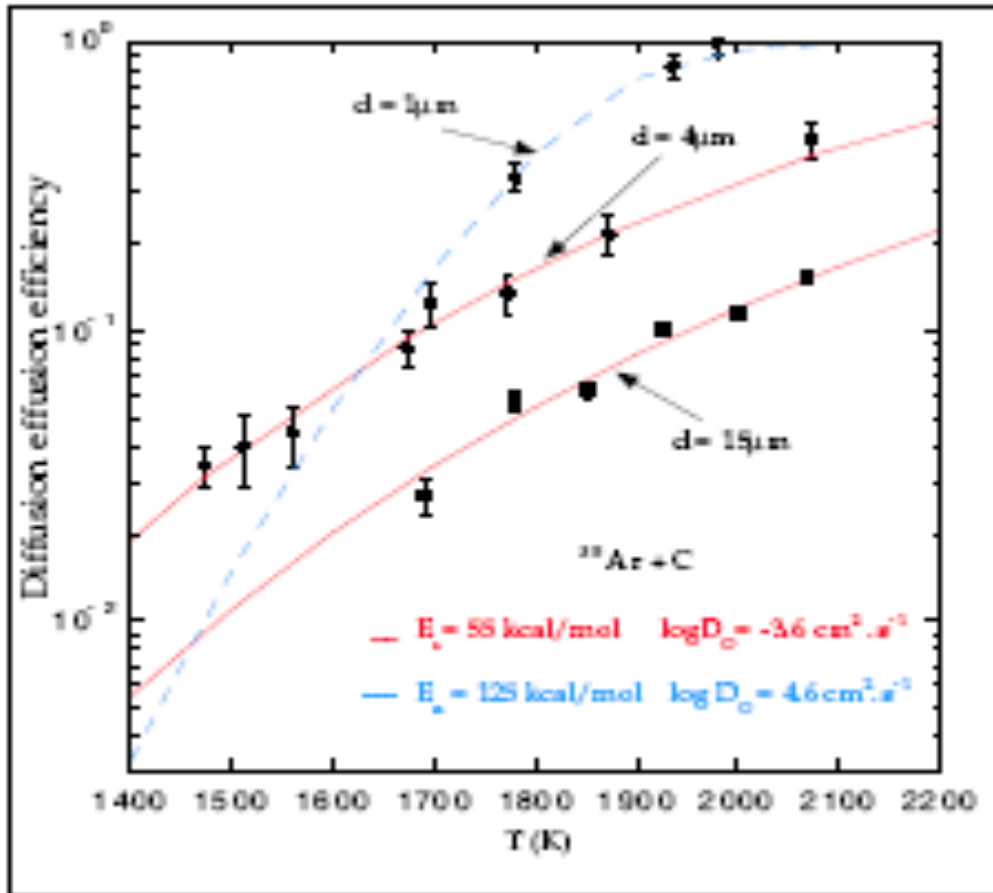
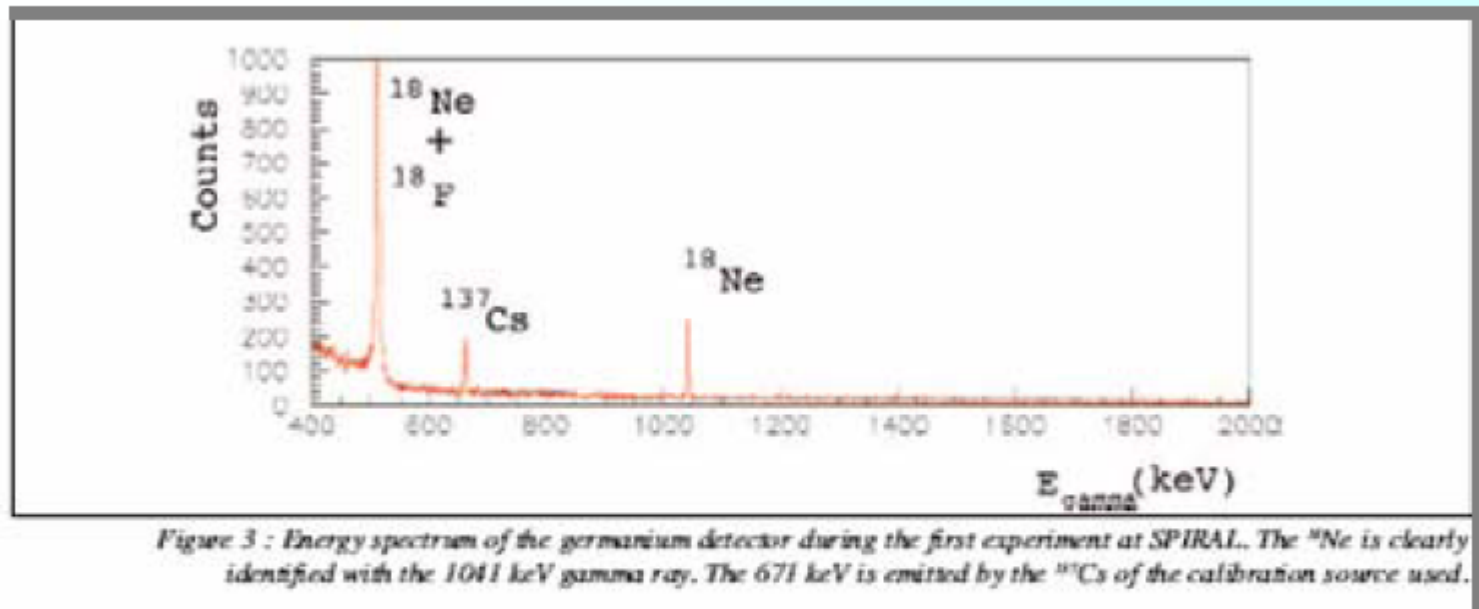


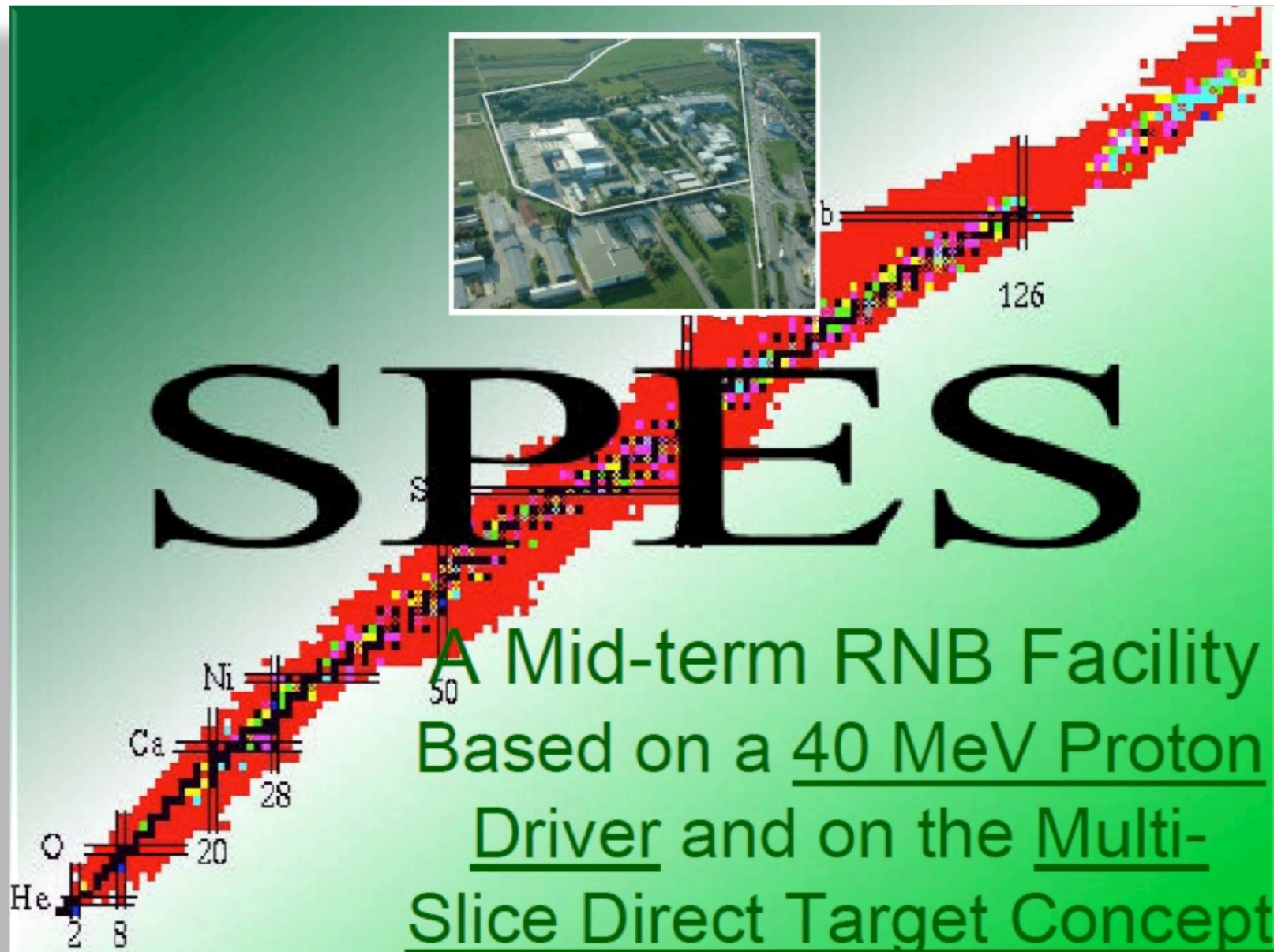
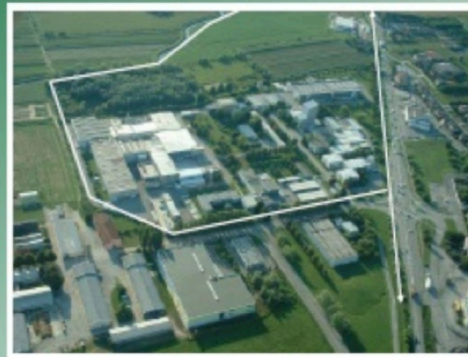
Figure 4 : Picture of the carbon targets : (left) the target dedicated to Ar and Ne production; (right) the target dedicated to He production.

Multi-slice target



Check beam purity with gamma spectroscopy!

Ottima qualità dei Fasci ISOL



SPNES

A Mid-term RNB Facility
Based on a 40 MeV Proton
Driver and on the Multi-
Slice Direct Target Concept

The SPES Project @ LNL: a multi-user project

Applied Physics with
proton beam

70 MeV 500 μ A

ISOL Beam Facility
for nuclear Physics

Approved for
construction

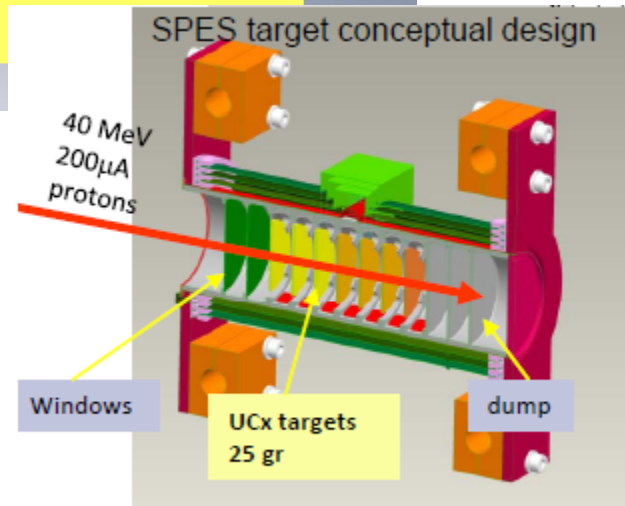
Primary Beam: 300 μ A, 40 MeV protons

Production Target: UCx 10^{13} fission s^{-1}

Re-accelerator: ALPI Superconductive Linac up
to 11 AMeV for A=130

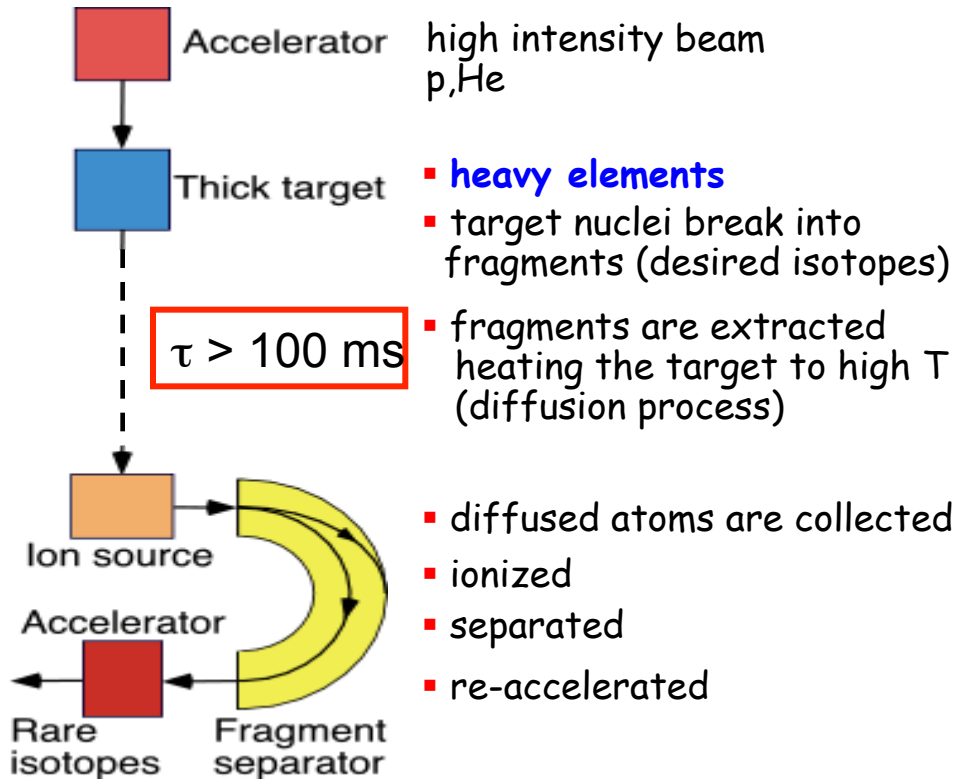


ISOL target operated at 2000°C.
Ionization and extraction with 1+
Plasma Source.



Radioactive Beams

ISOL (Isotope Separation on Line)



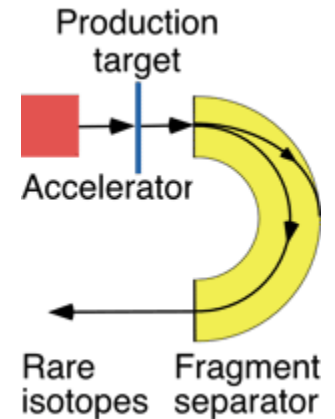
Advantages: excellent beam quality

Disadvantages: development of diffusion process for each elements

Rex-Isolde: 3.1 MeV/A (Z=2-88), $\approx 10^4$ - 10^{11} ions/s
Spiral: 1.7-25 MeV/A (Z=2-36), up to 10^{11} ions/s
Spes: 20 MeV/A (Z=80-160), up to 10^9 ions/s

In-Flight (Fragmentation)

- high intensity beam of heavy elements hits thin production target
- beam atoms fragment into smaller atoms
- fragments proceed with same speed and are separate by a magnet



Relativistic beams, forward focus

Advantages:

no chemical processes involved,
high-intensity beams

$\tau < 1 \mu\text{s}$

GSI: fast beams $\geq 50 \text{ MeV/A}$

RIA: primary beams: 400MeV/A
up to 1 μA

RIKEN: primary beams: 400MeV/A
up to 1 μA (first phase: May 2005)

...